

الاتحاد الدولي للاتصالات

ITU-R

قطاع الاتصالات الراديوية في الاتحاد الدولي للاتصالات

ITU-R P.1239-2
(2009/10)

**الخصائص الأيونوسفيرية المرجعية
لقطاع الاتصالات الراديوية**

السلسلة P
انتشار الموجات الراديوية



تمهيد

يصطلط قطاع الاتصالات الراديوية بدور يتمثل في تأمين الترشيد والإنصاف والفعالية والاقتصاد في استعمال طيف الترددات الراديوية في جميع خدمات الاتصالات الراديوية، بما فيها الخدمات الساتلية، وإجراء دراسات دون تحديد مدى الترددات، تكون أساساً لإعداد التوصيات واعتمادها. ويؤدي قطاع الاتصالات الراديوية وظائفه التنظيمية والسياسية من خلال المؤتمرات العالمية والإقليمية للاتصالات الراديوية وجمعيات الاتصالات الراديوية بمساعدة لجان الدراسات.

سياسة قطاع الاتصالات الراديوية بشأن حقوق الملكية الفكرية (IPR)

يرد وصف للسياسة التي يتبعها قطاع الاتصالات الراديوية فيما يتعلق بحقوق الملكية الفكرية في سياسة البراءات المشتركة بين قطاع تقنيين للاتصالات وقطاع الاتصالات الراديوية والمنظمة الدولية للتوحيد القياسي واللجنة الكهربائية الدولية (ITU-T/ITU-R/ISO/IEC) والمشار إليها في الملحق 1 بالقرار 1 ITU-R. وترت الأستمارات التي ينبغي لحاملي البراءات استعمالها لتقسام بيان عن البراءات أو للتصریح عن منح رخص في الموقع الإلكتروني <http://www.itu.int/ITU-R/go/patents/en> حيث يمكن أيضاً الاطلاع على المبادئ التوجيهية الخاصة بتطبيق سياسة البراءات المشتركة وعلى قاعدة بيانات قطاع الاتصالات الراديوية التي تتضمن معلومات عن البراءات.

سلسل توصيات قطاع الاتصالات الراديوية

(يمكن الاطلاع عليها أيضاً في الموقع الإلكتروني <http://www.itu.int/publ/R-REC/en>)

السلسلة	العنوان
BO	البث الساتلي
BR	التسجيل من أجل الإنتاج والأرشفة والعرض؛ الأفلام التلفزيونية
BS	الخدمة الإذاعية (الصوتية)
BT	الخدمة الإذاعية (التلفزيونية)
F	الخدمة الثابتة
M	الخدمة المتنقلة وخدمة التحديد الراديوى للموقع وخدمة الهواة والخدمات الساتلية ذات الصلة
P	انتشار الموجات الراديوية
RA	علم الفلك الراديوى
S	الخدمة الثابتة الساتلية
RS	أنظمة الاستشعار عن بعد
SA	التطبيقات القضائية والأرصاد الجوية
SF	تقاسم الترددات والتنسيق بين أنظمة الخدمة الثابتة الساتلية والخدمة الثابتة
SM	إدارة الطيف
SNG	التجمیع الساتلي للأخبار
TF	إرسالات الترددات المعيارية وإشارات التوقيت
V	المفردات والمواضيع ذات الصلة

ملاحظة: تمت الموافقة على النسخة الإنكليزية لهذه التوصية الصادرة عن قطاع الاتصالات الراديوية بموجب الإجراء الموضح في القرار 1 ITU-R.

النشر الإلكتروني
جنيف، 2010

ITU-R P.1239-2 التوصية

* الخصائص الأيونوسفيرية المرجعية لقطاع الاتصالات الراديوية

(ITU-R 212/3) المسألة

(2009-2007-1997)

مجال التطبيق

تقديم هذه التوصية نماذج وجدواه، قمية للقيم الوسطى، الشهية للخصائص، الأيونو سفيرية و معلمات متعلقة بالتغييرات الإحصائية.

ان جمعية الاتصالات الادبية للاتحاد الدولي للاتصالات،

إذ تضع في اعتبارها

أ) أن من الضروري توفر معطيات أيونوسفيرية مرجعية على المدى البعيد وطائق تبؤ لتصميم دارات الاتصالات الالكترونية و تحضير الخدمة و انتقاء نطاقات الترددات،

۱۰۷

ياسعمال العناصر المتضمنة في الملحقة ١ للتنمية بالخصائص الأبوية سفهية.

المحة 1

الخصائص الأيونية سفيرية

مدخل

1

يقترح هذا الملحق عبارات لتقدير القيم الوسطى الشهرية لـ $foF2$ و foE و $foF1$ و $h'F$ و $h'F2$ والقيم الشهرية الوسطى للعشرين الأدنى والأعلى لـ fb و $fbEs$ و $foEs$. وهو يتضمن كذلك استعراضات للنسبة المئوية لظهور طبقة F المتداة. وتقدم هذه العبارات قيمًا لكل موقع أو شهر أو ساعة من اليوم، لمختلف فترات الدورة الشمسية. في حالة foE و $foF1$ ، تُعطى صيغ تحريرية وفقاً لزاوية سمت الشمس. أما بالنسبة للخصائص الأيونوسferية الأخرى، فتطبق تقنية رقمية لرسم الخرائط قائمة على الدوال المتعامدة لفورييه.

2 دوال رسم الخرائط

إن الشكل العام للدالة الرقمية للخريطة (Ω, θ, T) هي السلسلة الزمنية لفوربيه:

$$(1) \quad \Omega(\lambda, \theta, T) = a_0(\lambda, \theta) + \sum_{j=1}^H [a_j(\lambda, \theta) \cos jT + b_j(\lambda, \theta) \sin jT]$$

حيث:

Ω : خاصية أيونوسفيرية يجب رسماها بيانياً

λ : خط عرض جغرافي ($-90^\circ \leq \lambda \leq 90^\circ$)

θ : خط طول جغرافي شرقاً ($0^\circ \leq \theta \leq 360^\circ$)

θ بالدرجات شرق مستوى زوال غرينتش

T : الوقت العالمي (UTC) معبراً عنه كزاوية ($-180^\circ \leq T \leq 180^\circ$)

H : العدد الأقصى من التوافقيات المستعملة لتمثيل التغير النهاري.

إن معاملي فورييه $a_j(\lambda, \theta)$ و $b_j(\lambda, \theta)$ يتغيران مع الإحداثيات الجغرافية ويمثلان بواسطة سلاسل على شكل:

$$(2a) \quad a_j(\lambda, \theta) = \sum_{k=0}^K U_{2j,k} G_k(\lambda, \theta), \quad j = 0, 1, 2, \dots, H$$

$$(2b) \quad b_j(\lambda, \theta) = \sum_{k=0}^K U_{2j-1,k} G_k(\lambda, \theta), \quad j = 1, 2, \dots, H$$

يتم تحديد اختيار الدوال $G_k(\lambda, \theta)$ بضبط الأعداد الصحيحة (k) ($k_0, k_1, k_2, \dots, k_i, \dots, k_m; k_m = K$), حيث i هي الترتيب في خط الطول. إذاً يمكن لخريطة رقمية أن تمثل بطريقة أكثر وضوحاً بواسطة الدالة:

$$(3) \quad \Omega(\lambda, \theta, T) = \sum_{k=0}^K U_{0k} G_k(\lambda, \theta) + \sum_{j=1}^H \left[\cos jT \sum_{k=0}^K U_{2j,k} G_k(\lambda, \theta) + \sin jT \sum_{k=0}^K U_{2j-1,k} G_k(\lambda, \theta) \right]$$

يمكن التعبير عن $U_{2j,k}$ و $U_{2j-1,k}$ في المعادلات (2a) و (2b) و (3) على شكل $U_{s,k}$, حيث s تقابل j أو $2j - 1$.

وفي تقنية الخرائط الرقمية، تم استعمال الميل المغناطيسي المعدل:

$$(4) \quad X = \arctan \left(\frac{I}{\sqrt{\cos \lambda}} \right)$$

حيث I هي الميل المغناطيسي و λ خط العرض الجغرافي. وتتوقف X على خط العرض وخط الطول الجغرافيين في آن واحد، وتبقى العبارة الشكلية (Ω, θ, T) ، المعادلة (3)، دون تغيير. يعطي الجدول 1 الدوال الجغرافية $G_k(\lambda, \theta)$.

يُستخدم نموذج مجال مغناطيسي أرضي لفترة 1960 على أساس تحليل كروي توافق من الرتبة السادسة، لتحديد الميل المغناطيسي المعدل والتردد السيكلوتوني المطلوب لتقدير الخرائط الرقمية. يجب استعمال الفترة 1960 بدلاً من فترة أخرى لأنها الفترة التي وُضعت من أجلها قيم المعاملات الرقمية.

الجدول 1

دوال التنسيق الجغرافية ($G_k(\lambda, \theta)$)

X توقف على λ و θ ، m هي الرتبة القصوى لخط الطول

$$q_0 = k_0; q_i (i = 1, m) = \frac{k_i - k_{i-1} - 2}{2}$$

الرتبة m في خط الطول	k	...	الرتبة الثانية في خط الطول	k	الرتبة الأولى في خط الطول	k	التغير الرئيسي بدلالة خط العرض	k
$\cos^m \lambda \cos m \theta$	$k_{m-1} + 1$...	$\cos^2 \lambda \cos 2 \theta$	$k_1 + 1$	$\cos \lambda \cos \theta$	$k_0 + 1$	1	0
$\cos^m \lambda \sin m \theta$	$k_{m-1} + 2$...	$\cos^2 \lambda \sin 2 \theta$	$k_1 + 2$	$\cos \lambda \sin \theta$	$k_0 + 2$	$\sin X$	1
$\sin X \cos^m \lambda \cos m \theta$	$k_{m-1} + 3$...	$\sin X \cos^2 \lambda \cos 2 \theta$	$k_1 + 3$	$\sin X \cos \lambda \cos \theta$	$k_0 + 3$	$\sin^2 X$	2
$\sin X \cos^m \lambda \sin m \theta$	$k_{m-1} + 4$...	$\sin X \cos^2 \lambda \sin 2 \theta$	$k_1 + 4$	$\sin X \cos \lambda \sin \theta$	$k_0 + 4$.	.

.
.
$\sin^{q_m} X \cos^m \lambda \cos m \theta$	$k_m - 1$...	$\sin^{q_2} X \cos^2 \lambda \cos 2 \theta$	$k_2 - 1$	$\sin^{q_1} X \cos \lambda \cos \theta$	$k_1 - 1$	$\sin^{q_0} X$	k_0
$\sin^{q_m} X \cos^m \lambda \sin m \theta$	k_m	...	$\sin^{q_2} X \cos^2 \lambda \sin 2 \theta$	k_2	$\sin^{q_1} X \cos \lambda \sin \theta$	k_1		

يعطى الحث المغناطيسي F_x و F_y و F_z (غوس) على التوالي في الاتجاهات الجغرافية الشمالية والشرقية، وفي الاتجاه العمودي النازل، بواسطة المعادلات:

$$(5a) \quad F_x = \sum_{n=1}^6 \sum_{m=0}^n x_n^m \left[g_n^m \cos m \theta + h_n^m \sin m \theta \right] R^{n+2}$$

$$(5b) \quad F_y = \sum_{n=1}^6 \sum_{m=0}^n y_n^m \left[g_n^m \sin m \theta - h_n^m \cos m \theta \right] R^{n+2}$$

$$(5c) \quad F_z = \sum_{n=1}^6 \sum_{m=0}^n z_n^m \left[g_n^m \cos m \theta + h_n^m \sin m \theta \right] R^{n+2}$$

حيث:

$$(6a) \quad x_n^m = \frac{d}{d\varphi} (P_{n,m}(\cos \varphi))$$

$$(6b) \quad y_n^m = m \cdot \frac{P_{n,m}(\cos \varphi)}{\sin \varphi}$$

$$(6c) \quad z_n^m = -(n + 1) P_{n,m}(\cos \varphi)$$

مع:

الثوابت: خط العرض المشتركة الشمالي ($= 90^\circ$)، حيث λ تدل على خط العرض الجغرافي (بالدرجات)
(شمال موجب، $-90^\circ \leq \lambda \leq 90^\circ$)

الدالة لو جندر المصاحبة، معرفة على النحو التالي:

$$P_{n,m}(\cos \varphi) = \sin^m \varphi \left[\cos^{n-m} \varphi - \frac{(n-m)(n-m-1)}{2(2n-1)} \cos^{n-m-2} \varphi + \dots \right]$$

$$(7) \quad \left[\frac{(n-m)(n-m-1)(n-m-2)(n-m-3)}{(2)(4)(2n-1)(2n-3)} \cos^{n-m-4} \varphi + \dots \right]$$

$g^{m,n}$ و $h^{m,n}$: المعاملات الرقمية المتعلقة بنموذج المجال (غوس)

R : عامل التناصية بدلالة الارتفاع، يُعطى بواسطة:

$$(8) \quad R = \frac{6371.2}{6371.2 + h_r}$$

حيث:

h_r : الارتفاع الذي يُقيّم عنده المجال (يؤخذ على أنه يساوي 300 km).

يُعطى المجال المغناطيسي الإجمالي، F ، بواسطة:

$$(9) \quad F = \sqrt{F_x^2 + F_y^2 + F_z^2}$$

يُعطى الميل المغناطيسي I والتردد السيكلوتروني، f_H (MHz)، بواسطة:

$$(10) \quad I = \tan^{-1} \left(\frac{F_z}{\sqrt{F_x^2 + F_y^2}} \right)$$

و

$$(11) \quad f_H = 2.8 F$$

3 M(3000)F2 و foF2 التنبؤ به

1.3 القيم المتوسطة الشهرية

تقوم الخرائط الرقمية للطبقة F2 على معطيات سير أيونوسفيري عمودي يُجرى في عدد كبير من المحطات الأرضية المنتشرة في العالم أجمع. وتقوم مجموعات المعاملات الرقمية التي تحدد التغيرات النهارية والجغرافية للقيم الوسطية الشهرية لـ f_2 و $F2(M(3000))$ على علاقة خطية مع النشاط الشمسي¹. والمعاملات هي قيم $U_{s,k}$ (انظر المعادلين (2) و (3)) التي تحدد الدالة $\Omega(\lambda, \theta, T)$ للخريطة الرقمية للخصائص المعطاة لشهر وسوية النشاط الشمسي المعين. هذه المعاملات متيسرة لكل شهر في السنة، ولسوية النشاط الشمسي $R_{12} = 100$ و $R_{12} = 0$. هي القيمة المتوسطة على مرور اثنى عشر شهراً للأعداد الشهرية للكلف الشمسي وهي تُستعمل كمؤشر لسوية النشاط الشمسي.

وقد يكون من المناسب أكثر في بعض التطبيقات لو استعملنا جداول grid-point من أجل الخصائص الأيونوسفيرية بدلًا من تطبيق المعادلة (1). وبرامج الحاسوب المستعملة في حساب هذه الجداول من أجل f_2 و $F2(M(3000))$ موجودة على موقع الويب الخاص بلجنة الدراسات 3 للاتصالات الراديوية بحيث يمكن إجراء الحساب من خلال خطوتين برمجيتين تبادلتين. والجدول الناتجة لكل من f_2 و $F2(M(3000))$ باستعمال برنامج من البرامج الحاسوبية المذكورة أعلاه متاحة أيضاً على موقع الويب الخاص بلجنة الدراسات 3 للاتصالات الراديوية. ولتقدير المعلمات بين النقاط الشبكية بالجدول، يستعمل إجراء الاستكمال الداخلي ثانوي الخطية الموجود بالوصية ITU-R P.1144 (الملحق 1).

بالنسبة لمعظم التطبيقات، يكفي الاعتراف بأن تغيرات R_{12} و $F2(M(3000))$ بدلالة خطية. لكن العلاقة بين f_2 و R_{12} لا تبقى خطية بالنسبة لسوية النشاط الشمسي التي تكون بدلالة الموقع الجغرافي والساعة والفصل. والانحراف الأكثر حساسية

¹ توفر العديد من مجموعات المعاملات المختلفة. والمجموعة الموصى بها هي تلك التي وافقت عليها الجلسة العامة للجنة CCIR، أوسلو، 1966.

بالنسبة للخطية يظهر رقم R_{12} الأكبر من حوالي 150. إذا كانت قيمة R_{12} أعلى من 150، يمكن تخفيف الخطأ باعتبار أنها تساوي 150. والعلاقة بين R_{12} و $M(3000)F2$ كذلك خطية بالنسبة لقيمة النشاط الشمسي حتى $R_{12} = 150 = M(3000)F2$. فيما يخص قيمة R_{12} أعلى، تكون قيمة $M(3000)F2$ هي تلك المحصل عليها من أجل $R_{12} = 150$.

2.3 عوامل التغير

يعرض الجدولان 2 و 3 العوامل العشرية لوصف التغيرات اليومية للقيمة $foF2$ حلال شهر. ويتعلق هذان الجدولان بالوقت المحلي وخط العرض الجغرافي في نقطة المراقبة. ويعطى الجدولان لثلاثة أ Months من الكلف الشمسي R_{12} ، وثلاثة فصول: الشتاء: من نوفمبر إلى فبراير في النصف الشمالي من الكورة الأرضية ومن مايو إلى أغسطس في نصفها الجنوبي. الاعتدال: مارس وأبريل وسبتمبر وأكتوبر الصيف: من مايو إلى أغسطس في النصف الشمالي من الكورة الأرضية ومن نوفمبر إلى فبراير في نصفها الجنوبي. وقد تجرى عملية استقطاب داخلي بمحطتين بين نقاط الجدول.

4 التنبؤ بـ foE

تقوم طريقة التنبؤ بالمتوسطة الشهرية foE على كل المعطيات المنشورة للسنوات 1944-1973 للمحطات الأيونوسفيرية الخمسة وخمسين.

يُعطى foE (MHz) بواسطة:

$$(12) \quad (foE)^4 = A B C D$$

حيث:

A : عامل النشاط الشمسي، يعطى بواسطة:

$$(13) \quad A = 1 + 0.0094 (\Phi - 66)$$

Φ : المتوسط الشهري للتدايق الراديوية الشمسي على $10,7 \text{ cm}$ معبراً عنه بالوحدات $10^{-22} \text{ W m}^2 \text{ Hz}^{-1}$. بالنسبة لحالات التنبؤ، يمكن استعمال تقرير Φ قائم على تقدير R_{12} ، القيمة المتطرفة على مر 12 شهراً (انظر التوصية 371 ITU-R P.371)

B : عامل التغير الفصلي، يعطى بواسطة:

$$(14) \quad B = \cos^m N$$

حيث:

$$N = \lambda - \delta \quad \text{من أجل } 80^\circ < |\lambda - \delta| \leq 80^\circ \quad \text{و} \quad N = 80^\circ \quad \text{من أجل } |\lambda - \delta| \geq 80^\circ$$

λ : خط العرض الجغرافي (موجب في نصف الكورة الشمالي)

δ : قوس ميل الشمس (قوس ميل موجب للشمال).

الأس m دالة خط العرض الجغرافي، λ :

$$(15a) \quad |\lambda| < 32^\circ \quad m = -1,93 + 1,92 \cos \lambda \quad \text{أو:}$$

$$(15b) \quad |\lambda| < 32^\circ \quad m = 0,11 - 0,49 \cos \lambda$$

C : العامل الرئيسي لخط العرض، يعطى بواسطة:

$$(16a) \quad C = X + Y \cos \lambda$$

حيث:

$$(16b) \quad |\lambda| < 32^\circ \quad X = 23, Y = 116$$

أو:

$$(16c) \quad |\lambda| < 32^\circ \quad X = 92, Y = 35$$

D : عامل يأخذ بعين الاعتبار ساعة اليوم.

الحالة الأولى: $\chi \leq 73^\circ$

$$(17a) \quad D = \cos^p \chi$$

حيث χ هي المسافة السمتية للشمس (بالدرجات). بالنسبة $|12^\circ \leq |\lambda|, p = 1,31$; بالنسبة $|12^\circ > |\lambda|, p = 1,20$.

الحالة الثانية: $73^\circ < \chi < 90^\circ$

$$(17b) \quad D = \cos^p (\chi - \delta\chi)$$

حيث:

$$(17c) \quad \delta\chi = 6,27 \times 10^{-13} (\chi - 50)^\delta$$

مع كون p محددة كما في الحالة الأولى.

الحالة الثالثة: $\chi \geq 90^\circ$

عندما تكون χ تساوي أو أكبر من 90° , تُؤخذ في الليل قيمة D أكبر القيم المعطاة بواسطة العبارات التالية:

$$(17d) \quad D = (0,072)^p \exp (-1,4 h)$$

أو:

$$(17e) \quad D = (0,072)^p \exp (25,2 - 0,28 \chi)$$

حيث h هي عدد الساعات المنقضية منذ غروب الشمس ($\chi = 90^\circ$). في ظروف الشتاء القطبي، حيث الشمس لا تطلع، يتعين استعمال المعادلة (17e). وقيمة p هي نفسها في الحالة الأولى.

تُعطى القيمة الدنيا لـ foE بواسطة:

$$(18) \quad (foE)^4 \text{ minimum} = 0,004 (1 + 0,021 \Phi)^2$$

حيث يُؤخذ تقدير Φ كتقريب لـ Φ_{12} .

لليلاً، إذا كانت قيمة foE المحسوبة وفقاً للمعادلتين (12) و(17e) أصغر من تلك التي تعطيها الصيغة (18)، فإن هذه الأخيرة هي التي يجب أن تُؤخذ.

أظهرت اختبارات لدقة هذه الطريقة أن متوسط انحراف نطي يبلغ 0,11 MHz لقاعدة معطيات تقابل أكثر من 80 000 مقارنات ساعية للمحطات المدروسة الخمس والخمسين.

5 foF1 التنبؤ بـ

تقوم العبارات التي تسمح بالتنبؤ بالقيمة المتوسطة الشهرية لـ $foF1$ على المعطيات المسجلة من 1954 إلى 1966 في 39 محطة أيونوسفيرية تقع في نصف الكرة الأرضية.

تعطى عبارة (MHz) f_{F1} بواسطة:

$$(19) \quad f_{\text{F1}} = f_s \cos^n \chi$$

حيث:

$$f_s = f_{s_0} + 0.01 (f_{s_{100}} - f_{s_0}) R_{12}$$

$$f_{s_0} = 4.35 + 0.0058 \lambda - 0.000120 \lambda^2$$

$$f_{s_{100}} = 5.35 + 0.0110 \lambda - 0.000230 \lambda^2$$

$$n = 0.093 + 0.00461 \lambda - 0.0000540 \lambda^2 + 0.00031 R_{12}$$

حيث خط العرض المغنتيسي الأرضي λ , المعبّر عنه بالدرجات, والمعتبر موجباً في نصف الكرة الأرضية, يعطى بواسطة:

$$\lambda = |\arcsin [\sin g_0 \cdot \sin g + \cos g_0 \cdot \cos g \cdot \cos(\theta_0 - \theta)]|$$

حيث:

g : خط العرض الجغرافي للموقع ذي الأهمية

g_0 : خط العرض الجغرافي للقطب المغنتيسي الأرضي الشمالي ($78,3^\circ$ شمالاً)

θ : خط الطول الجغرافي للموقع ذي الأهمية

θ_0 : خط الطول الجغرافي للقطب المغنتيسي الأرضي الشمالي ($69,0^\circ$ غرباً).

إن المسافة السمتية القصوى للشمس التي تكون عندها الطبقة F1 (انظر كذلك الشكلين 1 و 2) تُعطى بواسطة العبارات التالية:

$$(20) \quad \chi_m = \chi_0 + 0,01 (\chi_{100} - \chi_0) R_{12}$$

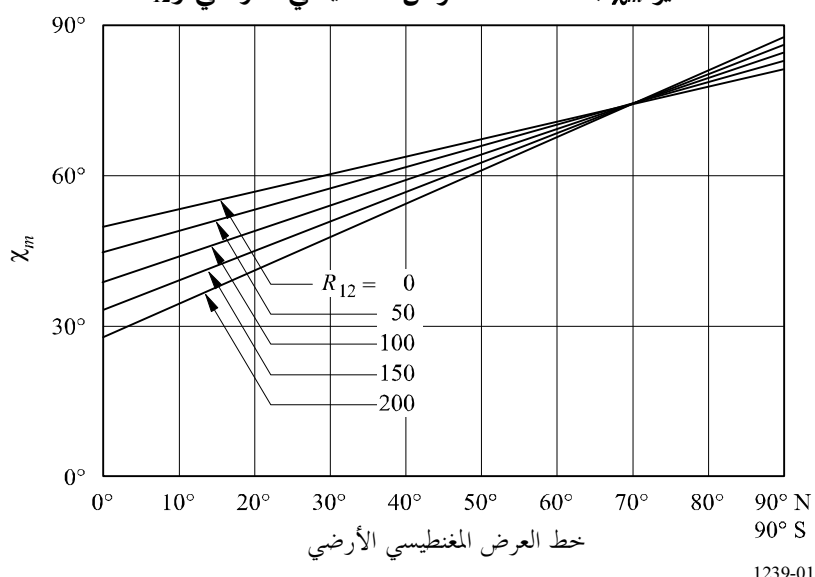
حيث:

$$\chi_0 = 50,0 + 0,348 \lambda$$

$$\chi_{100} = 38,7 + 0,509 \lambda$$

الشكل 1

تغير χ_m بدلالة خط العرض المغنتيسي الأرضي R_{12} و χ_0



1239-01

6 التنبؤ بـ $foEs$ و $fbEs$

توفر مجموعة من المعاملات الرقمية التي تحدد التغيرات النهارية والجغرافية والشهرية للقيم المتوسطة والقيم العشرية الدنيا والعليا $foEs$ لسنة من النشاط الشمسي الأدنى وسنة من النشاط الشمسي الأقصى، وكذلك مجموعة من المعاملات الرقمية التي تحدد تغيرات القيم المتوسطة والقيم العشرية الدنيا والعليا $fbEs$ (تردد حجب E المترافق)، لسنة من النشاط الشمسي الأدنى.

7 التنبؤ بـ $h'F$ و $F2$

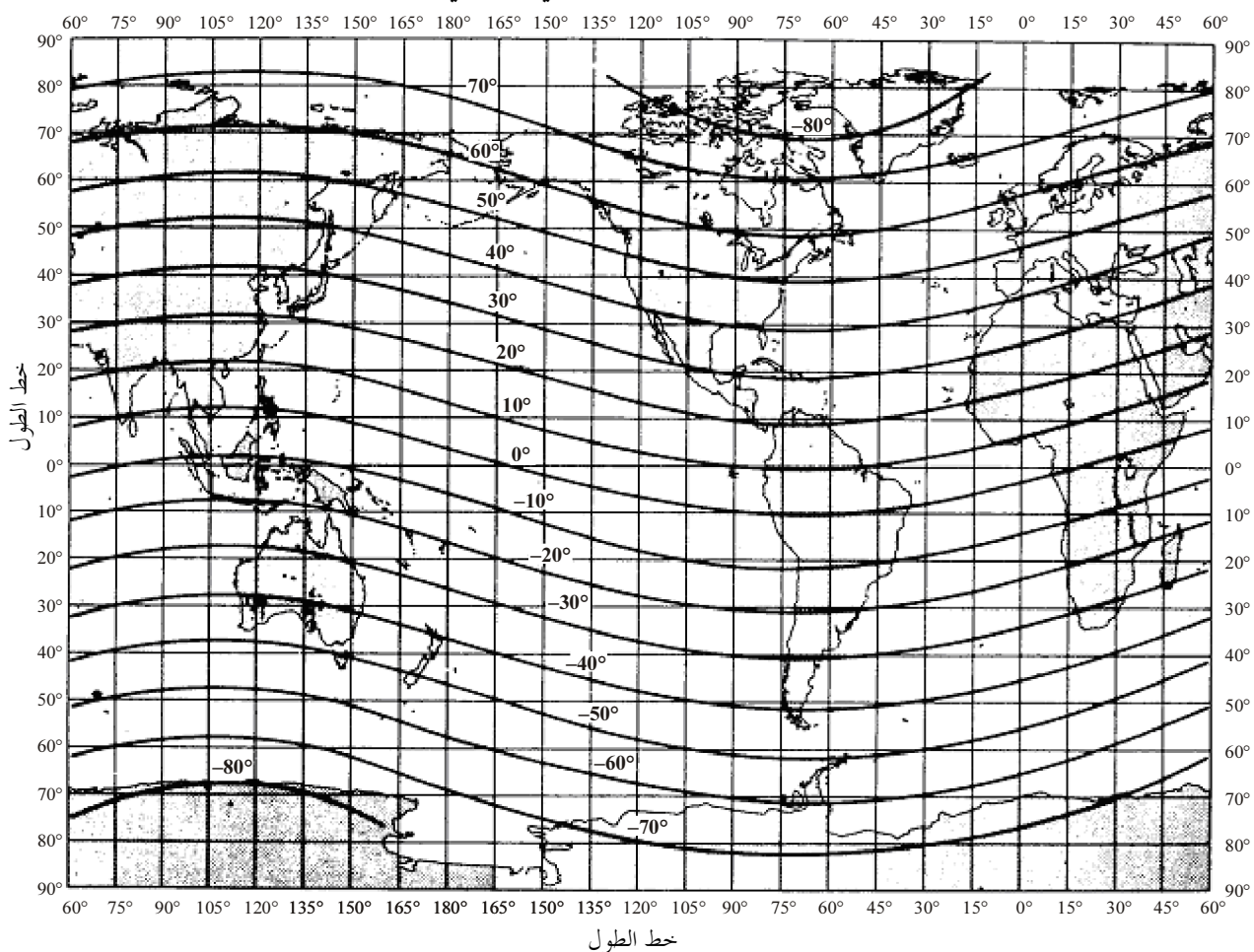
تم وضع خرائط رقمية للقيم المتوسطة الشهرية $h'F$ ، على أساس شهري، ولسنوات نشاط شمسي أقصى وأدنى، علماً بأن $h'F$ هي الارتفاع التقديري الأدنى الملاحظ لانعكاسات الإشارات ذات الورود العمودي من الإقليم F (على العموم من الطبقة F2 بالليل ومن الطبقة F1 خلال النهار). وتم كذلك وضع خرائط رقمية $F2$ ل السنوات نشاط شمسي أقصى وأدنى. $h'F, F2$ هي الارتفاع التقديري الأدنى الملاحظ لانعكاسات الإشارات ذات الورود العمودي من الطبقة F ليلاً والطبقة F2 نهاراً.

8 التنبؤ بالنسبة المئوية لحدوث F المتعددة

تم تحديد النسبة المئوية لحدوث F المتعددة، على أساس شهري، انطلاقاً من معطيات أيونوسفيرية قادمة من الشبكة العالمية للمسابير الأيونوسفيرية ذات الورود العمودي، لسنة ميزة لسوية مرتفعة للنشاط الشمسي ولسنة ذات نشاط شمسي منخفض. وتم تمثيل هذه القيم رقمياً بواسطة تقنية لرسم الخرائط.

الشكل 2

خطوط العرض المغناطيسي الأرضي



البرامج الحاسوبية والمعطيات المرجعية المتيسرة 9

الإجراءات الموصوفة في هذا الملحق منفذة في برنامجي الحاسوب WOMAP و HRMNTH. ويعرض البرنامج للأماكن تقع في إقليم جغرافي محدد، قيم الخصائص الأيونوسفيرية المختارة لوقت عالمي وشهر واحد وفترة نشاط شمسي معينة. ويعرض البرنامج التكميلي HRMNTH الخصائص الأيونوسفيرية المتغيرة لموقع وسنة معينين، وفقاً لوقت العالمي، لكل شهر ولكل فترة نشاط شمسي مصاحب.

ويمكن الاطلاع على ملفات المعاملات البالغ عددها 12 ملفاً، ملف لكل شهر، على موقع الويب للجنة الدراسات 3 للاتصالات الراديوية. ويحتوي كل ملف على معاملات لكل من foF2 وfoE3 وM(3000)F2 وfoEs وfoE3 والمتوسط والخانة العشرية الأعلى من foEs والخانة العشرية الأدنى من h'F، F2 وh'F، F2 عند مستويين من النشاط الشمسي، $R_{12} = 0$ و $R_{12} = 100$. وكل مجموعة من المعاملات تتتألف من صفيف k تستعمل لحساب G_k في الجدول 1 ومعاملات $U_{s,k}$ المقابلة المستعملة في تحديد الصفيفين a و b في المعادلة 1. وتمت الموافقة على هذه المعاملات في الجلسة العامة للجنة الاستشارية الدولية للاتصالات اللاسلكية (CCIR) بأسلاو، 1966.

وجدائل Grid-Point لكل من f_2 و F_2 (3000M) عند استبانة 1.5° لكل 24 ساعة للقيم الشهرية المتوسطة متاحة على موقع الويب للجنة الدراسات 3 للاتصالات الراديوية.

الجدول 2

العوامل العشرية الدنيا لتغيرات f_0F2 في الشهر

أ) تغير f_2 : القيمة العشرية الدنيا، شتاءً، $50 < R_{12}$

الجدول 2 (تابع)

ب) تغير $foF2$: القيمة العشرية الدنيا، شتاءً، $50 \leq R_{12} \leq 100$

الوقت المحلي (بالساعات)																							خط العرض		
23	22	21	20	19	18	17	16	15	14	13	12	11	10	09	08	07	06	05	04	03	02	01	00		
0,70	0,70	0,70	0,70	0,70	0,70	0,70	0,70	0,70	0,70	0,70	0,70	0,70	0,70	0,70	0,70	0,70	0,70	0,70	0,70	0,70	0,70	0,70	°90		
0,73	0,72	0,70	0,70	0,70	0,68	0,66	0,66	0,66	0,67	0,68	0,68	0,68	0,69	0,69	0,69	0,69	0,72	0,74	0,74	0,74	0,74	0,73	0,73	°85	
0,76	0,73	0,70	0,70	0,70	0,66	0,62	0,62	0,62	0,64	0,67	0,67	0,67	0,68	0,68	0,68	0,68	0,73	0,78	0,78	0,78	0,77	0,76	0,76	°80	
0,78	0,75	0,72	0,72	0,72	0,70	0,68	0,68	0,68	0,68	0,68	0,68	0,68	0,70	0,71	0,71	0,71	0,76	0,80	0,80	0,80	0,79	0,78	0,78	°75	
0,79	0,76	0,73	0,73	0,73	0,73	0,73	0,73	0,73	0,72	0,72	0,70	0,70	0,70	0,72	0,74	0,74	0,74	0,78	0,81	0,81	0,81	0,80	0,79	°70	
0,80	0,77	0,74	0,74	0,74	0,75	0,76	0,76	0,76	0,74	0,72	0,72	0,72	0,74	0,76	0,76	0,76	0,79	0,82	0,82	0,82	0,81	0,80	0,80	°65	
0,82	0,79	0,76	0,76	0,76	0,78	0,80	0,80	0,80	0,78	0,75	0,75	0,75	0,77	0,79	0,79	0,79	0,81	0,83	0,83	0,83	0,82	0,82	0,82	°60	
0,83	0,80	0,77	0,77	0,77	0,80	0,82	0,82	0,82	0,80	0,78	0,78	0,78	0,80	0,81	0,81	0,81	0,82	0,82	0,82	0,82	0,82	0,83	0,83	°55	
0,84	0,81	0,78	0,78	0,78	0,81	0,84	0,84	0,84	0,82	0,81	0,81	0,81	0,82	0,83	0,83	0,83	0,82	0,82	0,82	0,82	0,83	0,84	0,84	°50	
0,84	0,81	0,78	0,78	0,78	0,82	0,85	0,85	0,85	0,84	0,84	0,84	0,84	0,84	0,84	0,84	0,84	0,83	0,82	0,82	0,83	0,84	0,84	0,84	°45	
0,83	0,81	0,79	0,79	0,79	0,82	0,86	0,86	0,86	0,86	0,86	0,86	0,86	0,86	0,85	0,85	0,85	0,85	0,83	0,81	0,81	0,81	0,82	0,83	0,83	°40
0,80	0,79	0,78	0,78	0,78	0,82	0,86	0,86	0,86	0,86	0,86	0,86	0,86	0,85	0,85	0,85	0,85	0,82	0,78	0,78	0,78	0,79	0,80	0,80	°35	
0,78	0,78	0,78	0,78	0,78	0,82	0,85	0,85	0,85	0,85	0,85	0,85	0,85	0,85	0,85	0,85	0,85	0,80	0,76	0,76	0,76	0,77	0,78	0,78	°30	
0,76	0,76	0,77	0,77	0,77	0,80	0,84	0,84	0,84	0,84	0,84	0,84	0,84	0,85	0,85	0,85	0,85	0,80	0,74	0,74	0,74	0,75	0,76	0,76	°25	
0,74	0,75	0,76	0,76	0,76	0,79	0,82	0,82	0,82	0,82	0,83	0,83	0,83	0,84	0,85	0,85	0,85	0,78	0,71	0,71	0,71	0,72	0,74	0,74	°20	
0,76	0,76	0,77	0,77	0,77	0,80	0,84	0,84	0,84	0,84	0,84	0,84	0,84	0,85	0,86	0,86	0,86	0,78	0,70	0,70	0,70	0,73	0,76	0,76	°15	
0,77	0,78	0,78	0,78	0,78	0,82	0,85	0,85	0,85	0,86	0,86	0,86	0,86	0,86	0,87	0,87	0,87	0,78	0,69	0,69	0,69	0,73	0,77	0,77	°10	
0,77	0,78	0,78	0,78	0,78	0,82	0,85	0,85	0,85	0,86	0,86	0,86	0,86	0,86	0,87	0,87	0,87	0,78	0,69	0,69	0,69	0,73	0,77	0,77	°5	
0,78	0,78	0,78	0,78	0,78	0,80	0,83	0,83	0,83	0,84	0,86	0,86	0,86	0,85	0,86	0,86	0,86	0,76	0,66	0,66	0,66	0,72	0,78	0,78	°0	

الجدول 2 (تابع)

ج) تغير $foF2$: القيمة العشرية الدنيا، شتاءً، $R_{12} > 100$

الوقت المحلي (بالساعات)																							خط العرض	
23	22	21	20	19	18	17	16	15	14	13	12	11	10	09	08	07	06	05	04	03	02	01	00	
0,68	0,68	0,68	0,68	0,68	0,68	0,68	0,68	0,68	0,68	0,68	0,68	0,68	0,68	0,68	0,68	0,68	0,68	0,68	0,68	0,68	0,68	0,68	°90	
0,65	0,68	0,70	0,70	0,70	0,68	0,66	0,66	0,66	0,67	0,68	0,68	0,68	0,69	0,71	0,71	0,71	0,70	0,69	0,69	0,69	0,67	0,65	0,65	°85
0,62	0,68	0,73	0,73	0,73	0,68	0,64	0,64	0,64	0,66	0,67	0,67	0,67	0,70	0,74	0,74	0,74	0,72	0,70	0,70	0,70	0,66	0,62	0,62	°80
0,66	0,71	0,76	0,76	0,76	0,72	0,68	0,68	0,68	0,69	0,70	0,70	0,70	0,73	0,76	0,76	0,76	0,74	0,72	0,72	0,72	0,69	0,66	0,66	°75
0,69	0,74	0,78	0,78	0,78	0,75	0,72	0,72	0,72	0,72	0,72	0,72	0,72	0,74	0,77	0,77	0,77	0,76	0,74	0,74	0,74	0,72	0,69	0,69	°70
0,73	0,76	0,80	0,80	0,80	0,78	0,76	0,76	0,76	0,76	0,76	0,76	0,76	0,78	0,79	0,79	0,79	0,78	0,76	0,76	0,76	0,74	0,73	0,73	°65
0,77	0,80	0,82	0,82	0,82	0,80	0,79	0,79	0,79	0,80	0,80	0,80	0,80	0,80	0,81	0,81	0,81	0,80	0,78	0,78	0,78	0,78	0,77	0,77	°60
0,80	0,82	0,84	0,84	0,84	0,83	0,82	0,82	0,82	0,83	0,84	0,84	0,84	0,83	0,82	0,82	0,82	0,80	0,79	0,79	0,79	0,80	0,80	0,80	°55
0,83	0,84	0,86	0,86	0,86	0,85	0,84	0,84	0,84	0,86	0,87	0,87	0,87	0,86	0,84	0,84	0,84	0,82	0,80	0,80	0,80	0,82	0,83	0,83	°50
0,84	0,85	0,86	0,86	0,86	0,86	0,86	0,86	0,86	0,87	0,88	0,88	0,88	0,87	0,86	0,86	0,86	0,83	0,80	0,80	0,80	0,82	0,84	0,84	°45
0,86	0,86	0,87	0,87	0,87	0,87	0,87	0,87	0,87	0,88	0,90	0,90	0,90	0,88	0,87	0,87	0,87	0,84	0,81	0,81	0,81	0,84	0,86	0,86	°40
0,84	0,85	0,86	0,86	0,86	0,87	0,88	0,88	0,88	0,89	0,90	0,90	0,90	0,89	0,88	0,88	0,88	0,83	0,78	0,78	0,78	0,81	0,84	0,84	°35
0,83	0,84	0,86	0,86	0,86	0,87	0,88	0,88	0,88	0,89	0,90	0,90	0,90	0,90	0,89	0,89	0,89	0,82	0,76	0,76	0,76	0,80	0,83	0,83	°30
0,80	0,82	0,84	0,84	0,84	0,86	0,88	0,88	0,88	0,89	0,90	0,90	0,90	0,90	0,89	0,89	0,89	0,81	0,73	0,73	0,73	0,76	0,80	0,80	°25
0,78	0,80	0,83	0,83	0,83	0,86	0,89	0,89	0,89	0,89	0,89	0,89	0,89	0,89	0,89	0,89	0,89	0,80	0,70	0,70	0,70	0,74	0,78	0,78	°20
0,80	0,82	0,84	0,84	0,84	0,86	0,89	0,89	0,89	0,90	0,90	0,90	0,90	0,90	0,89	0,89	0,89	0,81	0,73	0,73	0,73	0,76	0,80	0,80	°15
0,83	0,84	0,84	0,84	0,84	0,86	0,89	0,89	0,89	0,90	0,90	0,90	0,90	0,90	0,89	0,89	0,89	0,82	0,76	0,76	0,76	0,80	0,83	0,83	°10
0,83	0,84	0,84	0,84	0,84	0,86	0,89	0,89	0,89	0,90	0,90	0,90	0,90	0,90	0,89	0,89	0,89	0,82	0,76	0,76	0,76	0,80	0,83	0,83	°5
0,82	0,82	0,81	0,81	0,81	0,84	0,87	0,87	0,87	0,88	0,90	0,90	0,90	0,90	0,89	0,88	0,88	0,82	0,78	0,78	0,78	0,80	0,82	0,82	°0

الجدول 2 (تابع)

د) تغير f_{oF2} : القيمة العشرية الدنيا، فصل الاعتدال، $R_{12} < 50$

الوقت المحلي (بالساعات)																							خط العرض
23	22	21	20	19	18	17	16	15	14	13	12	11	10	09	08	07	06	05	04	03	02	01	00
0,69	0,69	0,69	0,69	0,69	0,69	0,69	0,69	0,69	0,69	0,69	0,69	0,69	0,69	0,69	0,69	0,69	0,69	0,69	0,69	0,69	0,69	0,69	°90
0,68	0,68	0,67	0,67	0,67	0,70	0,74	0,74	0,74	0,72	0,71	0,71	0,71	0,72	0,72	0,72	0,72	0,71	0,70	0,70	0,70	0,70	0,68	°85
0,67	0,66	0,65	0,65	0,65	0,72	0,80	0,80	0,80	0,76	0,73	0,73	0,73	0,74	0,74	0,74	0,74	0,73	0,72	0,72	0,72	0,70	0,67	°80
0,68	0,68	0,67	0,67	0,67	0,74	0,81	0,81	0,81	0,78	0,74	0,74	0,74	0,74	0,75	0,75	0,75	0,74	0,74	0,74	0,74	0,71	0,68	°75
0,70	0,70	0,69	0,69	0,69	0,76	0,82	0,82	0,82	0,78	0,74	0,74	0,74	0,75	0,76	0,76	0,76	0,76	0,75	0,75	0,75	0,72	0,70	°70
0,72	0,72	0,71	0,71	0,71	0,76	0,82	0,82	0,82	0,78	0,74	0,74	0,74	0,76	0,78	0,78	0,78	0,77	0,76	0,76	0,76	0,74	0,72	°65
0,73	0,73	0,73	0,73	0,73	0,77	0,81	0,81	0,81	0,78	0,75	0,75	0,75	0,78	0,80	0,80	0,80	0,79	0,78	0,78	0,78	0,76	0,73	°60
0,74	0,74	0,74	0,74	0,74	0,78	0,81	0,81	0,81	0,78	0,76	0,76	0,76	0,78	0,80	0,80	0,80	0,79	0,79	0,79	0,76	0,74	0,74	°55
0,75	0,76	0,76	0,76	0,76	0,78	0,81	0,81	0,81	0,78	0,76	0,76	0,76	0,78	0,81	0,81	0,81	0,80	0,80	0,80	0,80	0,78	0,75	°50
0,76	0,76	0,77	0,77	0,77	0,78	0,80	0,80	0,80	0,78	0,76	0,76	0,76	0,78	0,81	0,81	0,81	0,80	0,80	0,80	0,80	0,78	0,76	°45
0,77	0,78	0,78	0,78	0,79	0,80	0,80	0,80	0,80	0,78	0,77	0,77	0,77	0,79	0,81	0,81	0,81	0,81	0,81	0,81	0,81	0,79	0,77	°40
0,78	0,77	0,76	0,76	0,76	0,78	0,80	0,80	0,80	0,79	0,78	0,78	0,78	0,80	0,82	0,82	0,82	0,81	0,80	0,80	0,80	0,79	0,78	°35
0,78	0,76	0,74	0,74	0,74	0,78	0,81	0,81	0,81	0,78	0,78	0,78	0,78	0,80	0,82	0,82	0,82	0,81	0,80	0,80	0,80	0,79	0,78	°30
0,78	0,75	0,72	0,72	0,72	0,77	0,82	0,82	0,82	0,81	0,80	0,80	0,80	0,81	0,82	0,82	0,82	0,80	0,78	0,78	0,78	0,78	0,78	°25
0,77	0,73	0,69	0,69	0,69	0,76	0,83	0,83	0,83	0,82	0,81	0,81	0,81	0,82	0,83	0,83	0,83	0,79	0,75	0,75	0,75	0,76	0,77	°20
0,76	0,74	0,72	0,72	0,72	0,78	0,84	0,84	0,84	0,84	0,85	0,85	0,85	0,84	0,84	0,84	0,84	0,77	0,70	0,70	0,70	0,73	0,76	°15
0,76	0,76	0,75	0,75	0,75	0,80	0,86	0,86	0,86	0,86	0,89	0,89	0,89	0,88	0,86	0,86	0,86	0,76	0,66	0,66	0,66	0,71	0,76	°10
0,76	0,76	0,75	0,75	0,75	0,80	0,86	0,86	0,86	0,86	0,89	0,89	0,89	0,88	0,86	0,86	0,86	0,76	0,66	0,66	0,66	0,71	0,76	°5
0,76	0,76	0,75	0,75	0,75	0,80	0,86	0,86	0,86	0,86	0,89	0,89	0,89	0,88	0,86	0,86	0,86	0,76	0,66	0,66	0,66	0,71	0,76	°0

الجدول 2 (تابع)

هـ) تغير f_{oF2} : القيمة العشرية الدنيا، فصل الاعتدال، $50 \leq R_{12} \leq 100$

الوقت المحلي (بالساعات)																							خط العرض	
23	22	21	20	19	18	17	16	15	14	13	12	11	10	09	08	07	06	05	04	03	02	01	00	
0,69	0,69	0,69	0,69	0,69	0,69	0,69	0,69	0,69	0,69	0,69	0,69	0,69	0,69	0,69	0,69	0,69	0,69	0,69	0,69	0,69	0,69	0,69	°90	
0,66	0,68	0,68	0,68	0,68	0,70	0,72	0,72	0,72	0,72	0,72	0,72	0,72	0,71	0,71	0,71	0,68	0,65	0,65	0,65	0,64	0,66	0,66	°85	
0,64	0,66	0,67	0,67	0,67	0,70	0,74	0,74	0,74	0,74	0,74	0,74	0,74	0,73	0,73	0,73	0,67	0,61	0,61	0,61	0,62	0,64	0,64	°80	
0,66	0,67	0,68	0,68	0,68	0,72	0,76	0,76	0,76	0,75	0,74	0,74	0,74	0,75	0,75	0,75	0,70	0,66	0,66	0,66	0,66	0,66	0,66	°75	
0,68	0,69	0,70	0,70	0,70	0,74	0,78	0,78	0,78	0,76	0,74	0,74	0,74	0,76	0,77	0,77	0,77	0,74	0,71	0,71	0,71	0,70	0,68	0,68	°70
0,69	0,70	0,72	0,72	0,75	0,78	0,78	0,78	0,76	0,73	0,73	0,73	0,73	0,76	0,78	0,78	0,76	0,73	0,73	0,73	0,71	0,69	0,69	°65	
0,70	0,72	0,73	0,73	0,73	0,76	0,78	0,78	0,78	0,75	0,72	0,72	0,72	0,76	0,80	0,80	0,80	0,78	0,75	0,75	0,75	0,72	0,70	0,70	°60
0,72	0,73	0,74	0,74	0,74	0,76	0,77	0,77	0,75	0,73	0,73	0,73	0,73	0,77	0,80	0,80	0,80	0,78	0,76	0,76	0,76	0,74	0,72	0,72	°55
0,73	0,74	0,75	0,75	0,75	0,76	0,76	0,76	0,76	0,75	0,74	0,74	0,74	0,78	0,81	0,81	0,81	0,79	0,77	0,77	0,77	0,75	0,73	0,73	°50
0,74	0,75	0,76	0,76	0,76	0,76	0,76	0,76	0,76	0,76	0,76	0,76	0,76	0,79	0,82	0,82	0,82	0,80	0,78	0,78	0,78	0,76	0,74	0,74	°45
0,75	0,76	0,76	0,76	0,76	0,76	0,76	0,76	0,76	0,77	0,78	0,78	0,78	0,80	0,82	0,82	0,82	0,80	0,78	0,78	0,78	0,76	0,75	0,75	°40
0,76	0,75	0,74	0,74	0,74	0,76	0,77	0,77	0,77	0,78	0,80	0,80	0,80	0,81	0,82	0,82	0,82	0,80	0,77	0,77	0,77	0,76	0,76	0,76	°35
0,77	0,74	0,72	0,72	0,75	0,78	0,78	0,78	0,80	0,83	0,83	0,83	0,82	0,82	0,82	0,82	0,79	0,76	0,76	0,76	0,76	0,77	0,77	0,77	°30
0,76	0,73	0,70	0,70	0,70	0,75	0,80	0,80	0,80	0,82	0,85	0,85	0,85	0,84	0,83	0,83	0,83	0,79	0,74	0,74	0,74	0,75	0,76	0,76	°25
0,75	0,72	0,69	0,69	0,69	0,76	0,81	0,81	0,81	0,84	0,87	0,87	0,87	0,86	0,84	0,84	0,84	0,78	0,73	0,73	0,73	0,74	0,75	0,75	°20
0,77	0,76	0,74	0,74	0,74	0,78	0,82	0,82	0,82	0,85	0,88	0,88	0,88	0,86	0,85	0,85	0,85	0,78	0,70	0,70	0,70	0,74	0,77	0,77	°15
0,79	0,80	0,80	0,80	0,80	0,82	0,84	0,84	0,84	0,86	0,89	0,89	0,89	0,88	0,86	0,86	0,86	0,77	0,68	0,68	0,68	0,74	0,79	0,79	°10
0,79	0,80	0,80	0,80	0,80	0,82	0,84	0,84	0,84	0,86	0,89	0,89	0,89	0,88	0,86	0,86	0,86	0,77	0,68	0,68	0,68	0,74	0,79	0,79	°5
0,79	0,80	0,80	0,80	0,80	0,82	0,84	0,84	0,84	0,86	0,89	0,89	0,89	0,88	0,86	0,86	0,86	0,77	0,68	0,68	0,68	0,74	0,79	0,79	°0

الجدول 2 (تابع)

و) تغير R_{12} : القيمة العشرية الدنيا، فصل الاعتدال، $100 > R_{12}$

الوقت المحلي (بالساعات)																							خط العرض		
23	22	21	20	19	18	17	16	15	14	13	12	11	10	09	08	07	06	05	04	03	02	01	00		
0,69	0,69	0,69	0,69	0,69	0,69	0,69	0,69	0,69	0,69	0,69	0,69	0,69	0,69	0,69	0,69	0,69	0,69	0,69	0,69	0,69	0,69	0,69	°90		
0,68	0,69	0,70	0,70	0,70	0,70	0,70	0,70	0,70	0,68	0,68	0,68	0,68	0,70	0,72	0,72	0,72	0,70	0,68	0,68	0,68	0,68	0,68	°85		
0,66	0,69	0,72	0,72	0,72	0,71	0,70	0,70	0,70	0,68	0,66	0,66	0,66	0,70	0,75	0,75	0,75	0,71	0,67	0,67	0,67	0,66	0,66	°80		
0,66	0,69	0,72	0,72	0,72	0,71	0,70	0,70	0,70	0,69	0,68	0,68	0,68	0,71	0,74	0,74	0,74	0,72	0,69	0,69	0,69	0,68	0,66	°75		
0,67	0,70	0,72	0,72	0,72	0,71	0,70	0,70	0,70	0,70	0,70	0,70	0,70	0,72	0,73	0,73	0,73	0,72	0,71	0,71	0,71	0,69	0,67	°70		
0,68	0,70	0,72	0,72	0,72	0,71	0,70	0,70	0,70	0,70	0,70	0,70	0,70	0,71	0,72	0,72	0,72	0,72	0,73	0,73	0,73	0,70	0,68	0,68	°65	
0,69	0,70	0,72	0,72	0,72	0,71	0,71	0,71	0,71	0,71	0,71	0,71	0,71	0,71	0,71	0,71	0,71	0,73	0,75	0,75	0,75	0,72	0,69	0,69	°60	
0,70	0,71	0,72	0,72	0,72	0,72	0,72	0,72	0,72	0,72	0,72	0,72	0,72	0,71	0,70	0,70	0,70	0,70	0,73	0,76	0,76	0,76	0,73	0,70	0,70	°55
0,71	0,72	0,73	0,73	0,73	0,74	0,74	0,74	0,74	0,74	0,72	0,72	0,72	0,72	0,72	0,70	0,70	0,70	0,74	0,78	0,78	0,78	0,74	0,71	0,71	°50
0,75	0,77	0,78	0,78	0,78	0,78	0,77	0,77	0,77	0,76	0,75	0,75	0,75	0,74	0,72	0,72	0,72	0,76	0,80	0,80	0,80	0,78	0,75	0,75	°45	
0,79	0,82	0,84	0,84	0,84	0,82	0,80	0,80	0,80	0,79	0,78	0,78	0,78	0,76	0,75	0,75	0,75	0,78	0,82	0,82	0,82	0,80	0,79	0,79	°40	
0,80	0,82	0,85	0,85	0,85	0,84	0,84	0,84	0,84	0,83	0,82	0,82	0,82	0,82	0,81	0,81	0,81	0,82	0,82	0,82	0,82	0,81	0,80	0,80	°35	
0,81	0,84	0,86	0,86	0,86	0,86	0,87	0,87	0,87	0,87	0,87	0,87	0,87	0,87	0,87	0,87	0,87	0,84	0,82	0,82	0,82	0,81	0,81	0,81	°30	
0,81	0,83	0,86	0,86	0,86	0,87	0,88	0,88	0,89	0,90	0,90	0,90	0,90	0,89	0,88	0,88	0,88	0,84	0,80	0,80	0,80	0,81	0,81	0,81	°25	
0,81	0,83	0,85	0,85	0,85	0,88	0,90	0,90	0,90	0,91	0,92	0,92	0,92	0,90	0,89	0,89	0,89	0,83	0,77	0,77	0,77	0,79	0,81	0,81	°20	
0,80	0,82	0,84	0,84	0,84	0,87	0,90	0,90	0,90	0,91	0,91	0,91	0,91	0,89	0,88	0,88	0,88	0,73	0,78	0,78	0,78	0,79	0,80	0,80	°15	
0,80	0,81	0,82	0,82	0,82	0,86	0,90	0,90	0,90	0,90	0,90	0,90	0,90	0,88	0,86	0,86	0,86	0,82	0,79	0,79	0,79	0,80	0,80	0,80	°10	
0,80	0,81	0,82	0,82	0,82	0,86	0,90	0,90	0,90	0,90	0,90	0,90	0,90	0,88	0,86	0,86	0,86	0,82	0,79	0,79	0,79	0,80	0,80	0,80	°5	
0,80	0,81	0,82	0,82	0,82	0,86	0,90	0,90	0,90	0,90	0,90	0,90	0,90	0,88	0,86	0,86	0,86	0,82	0,79	0,79	0,79	0,80	0,80	0,80	°0	

الجدول 2 (تابع)

ز) تغير $foF2$: القيمة العشرية الدنيا، صيفاً، $50 < R_{12}$

الجدول 2 (تابع)

ح) تغير $foF2$: القيمة العشرية الدنيا، صيفاً، $50 \leq R_{12} \leq 100$

الوقت المحلي (بالساعات)																							خط العرض
23	22	21	20	19	18	17	16	15	14	13	12	11	10	09	08	07	06	05	04	03	02	01	00
0,81	0,81	0,81	0,81	0,81	0,81	0,81	0,81	0,81	0,81	0,81	0,81	0,81	0,81	0,81	0,81	0,81	0,81	0,81	0,81	0,81	0,81	0,81	°90
0,82	0,80	0,80	0,80	0,80	0,80	0,80	0,80	0,80	0,82	0,83	0,83	0,83	0,82	0,82	0,82	0,82	0,81	0,80	0,80	0,80	0,81	0,82	°85
0,82	0,80	0,79	0,79	0,79	0,80	0,80	0,80	0,80	0,82	0,85	0,85	0,85	0,84	0,82	0,82	0,82	0,81	0,80	0,80	0,80	0,81	0,82	°80
0,82	0,81	0,80	0,80	0,80	0,81	0,81	0,81	0,81	0,82	0,84	0,84	0,84	0,82	0,80	0,80	0,80	0,81	0,81	0,81	0,81	0,82	0,82	°75
0,83	0,82	0,82	0,82	0,82	0,82	0,82	0,82	0,82	0,82	0,82	0,82	0,82	0,80	0,79	0,79	0,79	0,80	0,82	0,82	0,82	0,83	0,83	°70
0,83	0,83	0,82	0,82	0,82	0,82	0,82	0,82	0,82	0,81	0,80	0,80	0,80	0,79	0,78	0,78	0,78	0,80	0,82	0,82	0,82	0,83	0,83	°65
0,83	0,83	0,83	0,83	0,83	0,82	0,82	0,82	0,82	0,80	0,79	0,79	0,79	0,78	0,77	0,77	0,77	0,80	0,82	0,82	0,82	0,83	0,83	°60
0,82	0,82	0,82	0,82	0,82	0,82	0,82	0,82	0,82	0,80	0,78	0,78	0,78	0,77	0,77	0,76	0,76	0,76	0,79	0,82	0,82	0,82	0,82	°55
0,81	0,82	0,82	0,82	0,82	0,82	0,81	0,81	0,81	0,79	0,77	0,77	0,77	0,76	0,76	0,76	0,76	0,78	0,81	0,81	0,81	0,81	0,81	°50
0,80	0,80	0,80	0,80	0,80	0,80	0,80	0,80	0,80	0,78	0,78	0,78	0,78	0,76	0,76	0,76	0,76	0,78	0,80	0,80	0,80	0,80	0,80	°45
0,78	0,78	0,78	0,78	0,78	0,78	0,78	0,78	0,78	0,78	0,78	0,78	0,78	0,76	0,75	0,75	0,75	0,76	0,78	0,78	0,78	0,78	0,78	°40
0,78	0,77	0,76	0,76	0,76	0,77	0,78	0,78	0,78	0,78	0,78	0,78	0,78	0,76	0,75	0,75	0,75	0,78	0,80	0,80	0,80	0,79	0,78	°35
0,77	0,76	0,74	0,74	0,74	0,76	0,77	0,77	0,77	0,78	0,79	0,79	0,79	0,77	0,75	0,75	0,75	0,79	0,83	0,83	0,83	0,80	0,77	°30
0,77	0,75	0,74	0,74	0,74	0,76	0,78	0,78	0,78	0,79	0,80	0,80	0,80	0,79	0,76	0,76	0,76	0,76	0,76	0,76	0,76	0,77	0,77	°25
0,77	0,75	0,73	0,73	0,73	0,76	0,78	0,78	0,78	0,80	0,82	0,82	0,82	0,80	0,78	0,78	0,78	0,74	0,69	0,69	0,69	0,73	0,77	°20
0,78	0,76	0,75	0,75	0,75	0,77	0,80	0,80	0,80	0,82	0,84	0,84	0,84	0,82	0,81	0,81	0,81	0,74	0,66	0,66	0,66	0,72	0,78	°15
0,79	0,78	0,77	0,77	0,77	0,79	0,81	0,81	0,81	0,83	0,85	0,85	0,85	0,84	0,84	0,84	0,84	0,74	0,63	0,63	0,63	0,71	0,79	°10
0,79	0,78	0,77	0,77	0,77	0,79	0,81	0,81	0,81	0,83	0,85	0,85	0,85	0,84	0,84	0,84	0,84	0,74	0,63	0,63	0,63	0,71	0,79	°5
0,78	0,78	0,78	0,78	0,78	0,80	0,83	0,83	0,83	0,84	0,86	0,86	0,86	0,85	0,86	0,86	0,86	0,76	0,66	0,66	0,66	0,72	0,78	°0

الجدول 2 (تممة)

ط) تغير foF2: القيمة العشرية الدنيا، صيفاً،
 $R_{12} > 100$

الوقت المحلي (بالساعات)																							خط العرض	
23	22	21	20	19	18	17	16	15	14	13	12	11	10	09	08	07	06	05	04	03	02	01	00	
0,78	0,78	0,78	0,78	0,78	0,78	0,78	0,78	0,78	0,78	0,78	0,78	0,78	0,78	0,78	0,78	0,78	0,78	0,78	0,78	0,78	0,78	0,78	°90	
0,76	0,76	0,76	0,76	0,76	0,78	0,78	0,78	0,78	0,80	0,80	0,80	0,80	0,80	0,80	0,80	0,80	0,78	0,76	0,76	0,76	0,76	0,76	°85	
0,73	0,74	0,75	0,75	0,75	0,77	0,79	0,79	0,79	0,81	0,83	0,83	0,83	0,82	0,82	0,82	0,82	0,78	0,74	0,74	0,74	0,74	0,73	0,73	°80
0,74	0,75	0,76	0,76	0,76	0,78	0,80	0,80	0,80	0,81	0,82	0,82	0,82	0,80	0,80	0,80	0,80	0,77	0,74	0,74	0,74	0,74	0,74	0,74	°75
0,75	0,76	0,77	0,77	0,77	0,78	0,80	0,80	0,80	0,81	0,80	0,80	0,80	0,78	0,77	0,77	0,77	0,76	0,75	0,75	0,75	0,75	0,75	0,75	°70
0,76	0,77	0,78	0,78	0,78	0,79	0,80	0,80	0,80	0,79	0,78	0,78	0,78	0,77	0,76	0,76	0,76	0,76	0,76	0,76	0,76	0,76	0,76	0,76	°65
0,77	0,78	0,80	0,80	0,80	0,80	0,80	0,80	0,80	0,78	0,77	0,77	0,77	0,76	0,74	0,74	0,74	0,75	0,76	0,76	0,76	0,76	0,77	0,77	°60
0,78	0,80	0,82	0,82	0,82	0,81	0,80	0,80	0,80	0,78	0,76	0,76	0,76	0,75	0,74	0,74	0,74	0,75	0,76	0,76	0,76	0,77	0,78	0,78	°55
0,79	0,82	0,84	0,84	0,84	0,82	0,80	0,80	0,80	0,78	0,75	0,75	0,75	0,74	0,73	0,73	0,73	0,74	0,76	0,76	0,76	0,78	0,79	0,79	°50
0,80	0,82	0,84	0,84	0,84	0,82	0,80	0,80	0,80	0,77	0,75	0,75	0,75	0,74	0,74	0,74	0,74	0,75	0,76	0,76	0,76	0,78	0,80	0,80	°45
0,80	0,82	0,84	0,84	0,84	0,82	0,79	0,79	0,79	0,77	0,75	0,75	0,75	0,75	0,75	0,75	0,75	0,76	0,76	0,76	0,76	0,78	0,80	0,80	°40
0,80	0,82	0,84	0,84	0,84	0,80	0,79	0,79	0,79	0,78	0,78	0,78	0,78	0,78	0,78	0,78	0,78	0,77	0,76	0,76	0,76	0,78	0,80	0,80	°35
0,81	0,82	0,83	0,83	0,83	0,81	0,79	0,79	0,79	0,80	0,81	0,81	0,81	0,82	0,82	0,82	0,82	0,78	0,76	0,76	0,76	0,78	0,81	0,81	°30
0,81	0,81	0,82	0,82	0,82	0,81	0,80	0,80	0,80	0,82	0,84	0,84	0,84	0,84	0,84	0,84	0,84	0,80	0,76	0,76	0,76	0,78	0,81	0,81	°25
0,81	0,80	0,80	0,80	0,80	0,80	0,81	0,81	0,81	0,84	0,86	0,86	0,86	0,86	0,85	0,85	0,85	0,81	0,77	0,77	0,77	0,79	0,81	0,81	°20
0,80	0,80	0,79	0,79	0,79	0,81	0,83	0,83	0,83	0,85	0,88	0,88	0,88	0,87	0,86	0,86	0,86	0,82	0,78	0,78	0,78	0,79	0,80	0,80	°15
0,80	0,79	0,78	0,78	0,78	0,82	0,85	0,85	0,85	0,87	0,89	0,89	0,89	0,88	0,86	0,86	0,86	0,82	0,79	0,79	0,79	0,80	0,80	0,80	°10
0,80	0,79	0,78	0,78	0,78	0,82	0,85	0,85	0,85	0,87	0,89	0,89	0,89	0,88	0,86	0,86	0,86	0,82	0,79	0,79	0,79	0,80	0,80	0,80	°5
0,82	0,82	0,81	0,81	0,81	0,84	0,87	0,87	0,87	0,88	0,90	0,90	0,90	0,89	0,88	0,88	0,88	0,82	0,78	0,78	0,78	0,80	0,82	0,82	°0

الجدول 3

العوامل العشرية العليا لتغيرات $foF2$ في الشهر

أ) تغير $foF2$: القيمة العشرية العليا، شتاءً، $R_{12} < 50$

الوقت المحلي (بالساعات)																							خط العرض		
23	22	21	20	19	18	17	16	15	14	13	12	11	10	09	08	07	06	05	04	03	02	01	00		
1,38	1,38	1,38	1,38	1,38	1,38	1,38	1,38	1,38	1,38	1,38	1,38	1,38	1,38	1,38	1,38	1,38	1,38	1,38	1,38	1,38	1,38	1,38	°90		
1,41	1,40	1,39	1,39	1,39	1,37	1,36	1,36	1,36	1,35	1,35	1,35	1,35	1,38	1,42	1,42	1,42	1,39	1,36	1,36	1,36	1,38	1,41	1,41	°85	
1,44	1,42	1,40	1,40	1,40	1,36	1,33	1,33	1,33	,132	1,32	1,32	1,32	1,38	1,45	1,45	1,45	1,40	1,34	1,34	1,34	1,39	1,44	1,44	°80	
1,40	1,39	1,38	1,38	1,38	1,33	1,28	1,28	1,28	1,28	1,28	1,28	1,28	1,34	1,42	1,42	1,42	1,37	1,32	1,32	1,32	1,36	1,40	1,40	°75	
1,37	1,36	1,35	1,35	1,35	1,30	1,24	1,24	1,24	1,24	1,23	1,23	1,23	1,30	1,38	1,38	1,38	1,34	1,29	1,29	1,29	1,33	1,37	1,37	°70	
1,34	1,33	1,32	1,32	1,32	1,26	1,20	1,20	1,20	1,20	1,19	1,19	1,19	1,26	1,32	1,32	1,32	1,30	1,26	1,26	1,26	1,30	1,34	1,34	°65	
1,30	1,30	1,30	1,30	1,30	1,24	1,17	1,17	1,17	1,16	1,15	1,15	1,15	1,21	1,27	1,27	1,27	1,26	1,24	1,24	1,24	1,27	1,30	1,30	°60	
1,28	1,28	1,28	1,28	1,28	1,21	1,14	1,14	1,14	1,14	1,14	1,14	1,14	1,18	1,22	1,22	1,22	1,22	1,22	1,22	1,22	1,25	1,28	1,28	°55	
1,25	1,25	1,25	1,25	1,25	1,18	1,12	1,12	1,12	1,12	1,12	1,12	1,12	1,14	1,16	1,16	1,16	1,16	1,18	1,21	1,21	1,21	1,23	1,25	1,25	°50
1,24	1,24	1,24	1,24	1,24	1,18	1,12	1,12	1,12	1,12	1,12	1,12	1,12	1,13	1,14	1,14	1,14	1,18	1,20	1,20	1,20	1,22	1,24	1,24	°45	
1,23	1,23	1,23	1,23	1,23	1,17	1,11	1,11	1,11	1,11	1,11	1,11	1,11	1,12	1,13	1,13	1,13	1,18	1,20	1,20	1,20	1,22	1,23	1,23	°40	
1,26	1,26	1,26	1,26	1,26	1,20	1,13	1,13	1,13	1,12	1,14	1,14	1,14	1,14	1,14	1,14	1,14	1,20	1,25	1,25	1,25	1,25	1,26	1,26	°35	
1,28	1,28	1,28	1,28	1,28	1,22	1,15	1,15	1,15	1,16	1,17	1,17	1,17	1,16	1,15	1,15	1,15	1,22	1,30	1,30	1,30	1,29	1,28	1,28	°30	
1,31	1,30	1,30	1,30	1,30	1,25	1,20	1,20	1,20	1,19	1,18	1,18	1,18	1,18	1,17	1,17	1,17	1,25	1,34	1,34	1,34	1,32	1,31	1,31	°25	
1,34	1,33	1,32	1,32	1,32	1,28	1,24	1,24	1,24	1,22	1,20	1,20	1,20	1,20	1,19	1,19	1,19	1,28	1,37	1,37	1,37	1,36	1,34	1,34	°20	
1,30	1,28	1,26	1,26	1,26	1,22	1,19	1,19	1,19	1,18	1,18	1,18	1,18	1,18	1,18	1,18	1,18	1,28	1,38	1,38	1,38	1,34	1,30	1,30	°15	
1,27	1,24	1,20	1,20	1,20	1,17	1,14	1,14	1,14	1,14	1,15	1,15	1,15	1,16	1,18	1,18	1,18	1,28	1,38	1,38	1,38	1,32	1,27	1,27	°10	
1,27	1,24	1,20	1,20	1,20	1,17	1,14	1,14	1,14	1,14	1,15	1,15	1,15	1,16	1,18	1,18	1,18	1,28	1,38	1,38	1,38	1,32	1,27	1,27	°5	
1,24	1,22	1,20	1,20	1,20	1,20	1,20	1,20	1,20	1,21	1,22	1,22	1,22	1,18	1,15	1,15	1,15	1,26	1,38	1,38	1,38	1,30	1,24	1,24	°0	

الجدول 3 (تابع)

ب) تغير f_{oF2} : القيمة العشرية العليا، شتاءً، $50 \leq R_{12} \leq 100$

الوقت المحلي (بالساعات)																							خط العرض	
23	22	21	20	19	18	17	16	15	14	13	12	11	10	09	08	07	06	05	04	03	02	01	00	
1,41	1,41	1,41	1,41	1,41	1,41	1,41	1,41	1,41	1,41	1,41	1,41	1,41	1,41	1,41	1,41	1,41	1,41	1,41	1,41	1,41	1,41	1,41	°90	
1,43	1,43	1,43	1,43	1,43	1,40	1,37	1,37	1,37	1,38	1,40	1,40	1,40	1,42	1,42	1,42	1,42	1,40	1,40	1,40	1,42	1,43	1,43	°85	
1,45	1,45	1,45	1,45	1,45	1,39	1,33	1,33	1,33	1,36	1,40	1,40	1,40	1,42	1,44	1,44	1,44	1,42	1,39	1,39	1,39	1,42	1,45	1,45	°80
1,42	1,42	1,43	1,43	1,43	1,37	1,31	1,31	1,31	1,33	1,36	1,36	1,36	1,38	1,40	1,40	1,40	1,38	1,35	1,35	1,35	1,38	1,42	1,42	°75
1,39	1,40	1,41	1,41	1,41	1,35	1,29	1,29	1,29	1,30	1,32	1,32	1,32	1,34	1,37	1,37	1,37	1,34	1,31	1,31	1,31	1,35	1,39	1,39	°70
1,36	1,36	1,37	1,37	1,37	1,32	1,26	1,26	1,26	1,26	1,26	1,26	1,26	1,29	1,31	1,31	1,31	1,29	1,28	1,28	1,28	1,32	1,36	1,36	°65
1,33	1,33	1,33	1,33	1,33	1,28	1,22	1,22	1,22	1,22	1,21	1,21	1,21	1,23	1,25	1,25	1,25	1,24	1,24	1,24	1,28	1,33	1,33	°60	
1,32	1,31	1,31	1,31	1,31	1,25	1,19	1,19	1,19	1,18	1,18	1,18	1,18	1,19	1,20	1,20	1,20	1,20	1,22	1,22	1,22	1,26	1,32	1,32	°55
1,30	1,30	1,29	1,29	1,29	1,22	1,16	1,16	1,16	1,16	1,15	1,15	1,15	1,14	1,14	1,14	1,14	1,16	1,19	1,19	1,19	1,24	1,30	1,30	°50
1,28	1,28	1,28	1,28	1,28	1,22	1,15	1,15	1,15	1,15	1,14	1,14	1,14	1,14	1,13	1,13	1,13	1,15	1,18	1,18	1,18	1,23	1,28	1,28	°45
1,27	1,28	1,28	1,28	1,28	1,21	1,14	1,14	1,14	1,14	1,14	1,14	1,14	1,13	1,12	1,12	1,12	1,14	1,17	1,17	1,17	1,22	1,27	1,27	°40
1,28	1,29	1,30	1,30	1,30	1,23	1,16	1,16	1,16	1,16	1,16	1,16	1,16	1,14	1,14	1,14	1,14	1,19	1,24	1,24	1,26	1,28	1,28	1,28	°35
1,30	1,31	1,32	1,32	1,32	1,25	1,18	1,18	1,18	1,18	1,18	1,18	1,18	1,17	1,16	1,16	1,16	1,24	1,31	1,31	1,31	1,30	1,30	1,30	°30
1,32	1,34	1,36	1,36	1,36	1,29	1,22	1,22	1,22	1,21	1,20	1,20	1,20	1,18	1,16	1,16	1,16	1,25	1,34	1,34	1,34	1,33	1,32	1,32	°25
1,33	1,36	1,40	1,40	1,40	1,33	1,26	1,26	1,26	1,24	1,22	1,22	1,22	1,20	1,17	1,17	1,17	1,28	1,38	1,38	1,38	1,36	1,33	1,33	°20
1,27	1,29	1,32	1,32	1,32	1,26	1,20	1,20	1,20	1,19	1,18	1,18	1,18	1,17	1,16	1,16	1,16	1,24	1,32	1,32	1,32	1,30	1,27	1,27	°15
1,21	1,22	1,23	1,23	1,19	1,15	1,15	1,15	1,14	1,13	1,13	1,13	1,14	1,14	1,14	1,14	1,14	1,20	1,26	1,26	1,26	1,24	1,21	1,21	°10
1,21	1,22	1,23	1,23	1,19	1,15	1,15	1,15	1,15	1,14	1,13	1,13	1,13	1,14	1,14	1,14	1,14	1,20	1,26	1,26	1,26	1,24	1,21	1,21	°5
1,24	1,23	1,22	1,22	1,22	1,22	1,22	1,22	1,22	1,21	1,20	1,20	1,20	1,17	1,12	1,12	1,12	1,24	1,35	1,35	1,34	1,24	1,24	1,24	°0

الجدول 3 (تابع)

ج) تغير $foF2$: القيمة العشرية العليا، شتاءً، $R_{12} > 100$

الوقت المحلي (بالساعات)																							خط العرض	
23	22	21	20	19	18	17	16	15	14	13	12	11	10	09	08	07	06	05	04	03	02	01	00	
1,38	1,38	1,38	1,38	1,38	1,38	1,38	1,38	1,38	1,38	1,38	1,38	1,38	1,38	1,38	1,38	1,38	1,38	1,38	1,38	1,38	1,38	1,38	°90	
1,37	1,39	1,40	1,40	1,40	1,40	1,39	1,39	1,39	1,40	1,40	1,40	1,40	1,40	1,40	1,40	1,40	1,36	1,32	1,32	1,32	1,35	1,37	1,37	°85
1,36	1,40	1,43	1,43	1,43	1,42	1,40	1,40	1,41	1,42	1,42	1,42	1,42	1,41	1,41	1,41	1,41	1,34	1,27	1,27	1,27	1,32	1,36	1,36	°80
1,34	1,36	1,38	1,38	1,38	1,33	1,28	1,28	1,28	1,32	1,36	1,36	1,36	1,37	1,38	1,38	1,38	1,32	1,26	1,26	1,26	1,30	1,34	1,34	°75
1,31	1,32	1,34	1,34	1,34	1,25	1,16	1,16	1,16	1,23	1,30	1,30	1,30	1,32	1,34	1,34	1,34	1,30	1,25	1,25	1,25	1,28	1,31	1,31	°70
1,28	1,29	1,30	1,30	1,30	1,22	1,14	1,14	1,14	1,19	1,24	1,24	1,24	1,26	1,29	1,29	1,29	1,27	1,24	1,24	1,24	1,26	1,28	1,28	°65
1,26	1,26	1,26	1,26	1,26	1,18	1,11	1,11	1,11	1,14	1,18	1,18	1,18	1,21	1,24	1,24	1,24	1,23	1,23	1,23	1,24	1,26	1,26	1,26	°60
1,22	1,23	1,23	1,23	1,23	1,16	1,10	1,10	1,10	1,12	1,14	1,14	1,14	1,17	1,20	1,20	1,20	1,21	1,21	1,21	1,21	1,22	1,22	1,22	°55
1,19	1,20	1,20	1,20	1,20	1,14	1,09	1,09	1,09	1,10	1,11	1,11	1,11	1,14	1,16	1,16	1,16	1,18	1,19	1,19	1,19	1,19	1,19	1,19	°50
1,17	1,17	1,17	1,17	1,17	1,13	1,09	1,09	1,09	1,10	1,10	1,10	1,10	1,12	1,14	1,14	1,14	1,15	1,16	1,16	1,16	1,16	1,17	1,17	°45
1,15	1,14	1,14	1,14	1,14	1,12	1,09	1,09	1,09	1,09	1,09	1,09	1,09	1,11	1,13	1,13	1,13	1,14	1,14	1,14	1,14	1,14	1,15	1,15	°40
1,18	1,16	1,14	1,14	1,14	1,12	1,10	1,10	1,10	1,10	1,09	1,09	1,09	1,11	1,12	1,12	1,12	1,16	1,20	1,20	1,20	1,19	1,18	1,18	°35
1,22	1,18	1,13	1,13	1,13	1,12	1,11	1,11	1,11	1,10	1,09	1,09	1,09	1,10	1,12	1,12	1,12	1,19	1,26	1,26	1,26	1,24	1,22	1,22	°30
1,27	1,22	1,16	1,16	1,16	1,14	1,12	1,12	1,12	1,11	1,10	1,10	1,10	1,11	1,12	1,12	1,12	1,21	1,30	1,30	1,30	1,29	1,27	1,27	°25
1,32	1,26	1,20	1,20	1,20	1,17	1,14	1,14	1,14	1,13	1,12	1,12	1,12	1,12	1,12	1,12	1,12	1,24	1,35	1,35	1,35	1,34	1,32	1,32	°20
1,25	1,22	1,20	1,20	1,20	1,17	1,14	1,14	1,14	1,13	1,12	1,12	1,12	1,13	1,13	1,13	1,13	1,22	1,30	1,30	1,30	1,28	1,25	1,25	°15
1,18	1,19	1,20	1,20	1,20	1,18	1,15	1,15	1,15	1,14	1,13	1,13	1,13	1,14	1,14	1,14	1,14	1,20	1,25	1,25	1,25	1,22	1,18	1,18	°10
1,18	1,19	1,20	1,20	1,20	1,18	1,15	1,15	1,15	1,14	1,13	1,13	1,13	1,14	1,14	1,14	1,14	1,20	1,25	1,25	1,25	1,22	1,18	1,18	°5
1,22	1,22	1,22	1,22	1,22	1,20	1,18	1,18	1,18	1,17	1,15	1,15	1,15	1,14	1,14	1,14	1,14	1,18	1,23	1,23	1,23	1,22	1,22	1,20	°0

الجدول 3 (تابع)

د) تغير foF2: القيمة العشرية العليا، فصل الاعتدال، $R_{12} < 50$

الوقت المحلي (بالساعات)																							خط العرض	
23	22	21	20	19	18	17	16	15	14	13	12	11	10	09	08	07	06	05	04	03	02	01	00	
1,35	1,35	1,35	1,35	1,35	1,35	1,35	1,35	1,35	1,35	1,35	1,35	1,35	1,35	1,35	1,35	1,35	1,35	1,35	1,35	1,35	1,35	1,35	°90	
1,38	1,40	1,42	1,42	1,42	1,38	1,34	1,34	1,34	1,32	1,30	1,30	1,30	1,32	1,32	1,32	1,32	1,34	1,34	1,34	1,36	1,38	1,38	°85	
1,42	1,45	1,48	1,48	1,48	1,40	1,33	1,33	1,33	1,30	1,26	1,26	1,26	1,28	1,29	1,29	1,29	1,30	1,32	1,32	1,32	1,37	1,42	1,42	°80
1,40	1,42	1,44	1,44	1,44	1,36	1,30	1,30	1,30	1,27	1,24	1,24	1,24	1,26	1,27	1,27	1,27	1,28	1,28	1,28	1,28	1,34	1,40	1,40	°75
1,38	1,39	1,40	1,40	1,40	1,33	1,26	1,26	1,26	1,24	1,23	1,23	1,23	1,24	1,25	1,25	1,25	1,25	1,25	1,25	1,25	1,32	1,38	1,38	°70
1,35	1,36	1,36	1,36	1,36	1,30	1,23	1,23	1,23	1,22	1,22	1,22	1,22	1,23	1,24	1,24	1,24	1,24	1,23	1,23	1,23	1,29	1,35	1,35	°65
1,32	1,32	1,31	1,31	1,31	1,26	1,20	1,20	1,20	1,20	1,20	1,20	1,20	1,21	1,22	1,22	1,22	1,22	1,21	1,21	1,21	1,26	1,32	1,32	°60
1,29	1,29	1,28	1,28	1,28	1,23	1,18	1,18	1,18	1,18	1,19	1,19	1,19	1,20	1,21	1,21	1,21	1,21	1,20	1,20	1,20	1,24	1,29	1,29	°55
1,26	1,26	1,26	1,26	1,26	1,21	1,16	1,16	1,16	1,17	1,18	1,18	1,18	1,19	1,20	1,20	1,20	1,20	1,19	1,19	1,19	1,22	1,26	1,26	°50
1,24	1,25	1,26	1,26	1,26	1,21	1,16	1,16	1,16	1,16	1,17	1,17	1,17	1,18	1,20	1,20	1,20	1,20	1,20	1,20	1,20	1,22	1,24	1,24	°45
1,22	1,24	1,25	1,25	1,25	1,20	1,16	1,16	1,16	1,16	1,16	1,16	1,16	1,18	1,19	1,19	1,19	1,20	1,20	1,20	1,20	1,21	1,22	1,22	°40
1,22	1,24	1,26	1,26	1,26	1,21	1,16	1,16	1,16	1,16	1,16	1,16	1,16	1,17	1,18	1,18	1,18	1,21	1,23	1,23	1,23	1,22	1,22	1,22	°35
1,22	1,26	1,28	1,28	1,28	1,22	1,16	1,16	1,16	1,15	1,15	1,15	1,16	1,18	1,18	1,18	1,22	1,26	1,26	1,26	1,24	1,22	1,22	°30	
1,26	1,28	1,30	1,30	1,30	1,24	1,17	1,17	1,17	1,16	1,14	1,14	1,14	1,16	1,17	1,17	1,17	1,23	1,29	1,29	1,28	1,26	1,26	°25	
1,30	1,32	1,33	1,33	1,33	1,26	1,18	1,18	1,18	1,16	1,14	1,14	1,14	1,15	1,16	1,16	1,16	1,24	1,32	1,32	1,31	1,30	1,30	°20	
1,26	1,26	1,24	1,24	1,24	1,21	1,18	1,18	1,18	1,16	1,14	1,14	1,14	1,14	1,14	1,14	1,14	1,25	1,36	1,36	1,36	1,31	1,26	1,26	°15
1,23	1,20	1,16	1,16	1,16	1,18	1,19	1,19	1,19	1,16	1,13	1,13	1,13	1,13	1,13	1,13	1,13	1,13	1,13	1,13	1,13	1,26	1,40	1,40	°10
1,23	1,20	1,16	1,16	1,16	1,18	1,19	1,19	1,19	1,16	1,13	1,13	1,13	1,13	1,13	1,13	1,13	1,26	1,40	1,40	1,32	1,23	1,23	°5	
1,23	1,20	1,16	1,16	1,16	1,18	1,19	1,19	1,19	1,16	1,13	1,13	1,13	1,13	1,13	1,13	1,13	1,26	1,40	1,40	1,32	1,23	1,23	°0	

الجدول 3 (تابع)

هـ) تغير f_{oF2} : القيمة العشرية العليا، فصل الاعتدال، $50 \leq R_{12} \leq 100$

الوقت المحلي (بالساعات)																							خط العرض	
23	22	21	20	19	18	17	16	15	14	13	12	11	10	09	08	07	06	05	04	03	02	01	00	
1,35	1,35	1,35	1,35	1,35	1,35	1,35	1,35	1,35	1,35	1,35	1,35	1,35	1,35	1,35	1,35	1,35	1,35	1,35	1,35	1,35	1,35	1,35	°90	
1,40	1,40	1,41	1,41	1,41	1,36	1,32	1,32	1,32	1,32	1,32	1,32	1,32	1,31	1,31	1,31	1,32	1,33	1,33	1,33	1,36	1,40	1,40	°85	
1,45	1,46	1,47	1,47	1,47	1,38	1,30	1,30	1,30	1,29	1,28	1,28	1,28	1,27	1,27	1,27	1,29	1,31	1,31	1,31	1,38	1,45	1,45	°80	
1,43	1,42	1,42	1,42	1,42	1,35	1,28	1,28	1,28	1,27	1,27	1,27	1,26	1,25	1,25	1,25	1,25	1,26	1,26	1,26	1,35	1,43	1,43	°75	
1,41	1,40	1,38	1,38	1,38	1,32	1,26	1,26	1,26	1,26	1,26	1,26	1,24	1,23	1,23	1,23	1,22	1,22	1,22	1,22	1,32	1,41	1,41	°70	
1,38	1,36	1,34	1,34	1,34	1,28	1,22	1,22	1,22	1,23	1,24	1,24	1,24	1,23	1,22	1,22	1,22	1,20	1,20	1,20	1,20	1,29	1,38	1,38	°65
1,35	1,32	1,29	1,29	1,29	1,24	1,18	1,18	1,18	1,20	1,23	1,23	1,23	1,22	1,20	1,20	1,20	1,18	1,17	1,17	1,17	1,26	1,35	1,35	°60
1,32	1,28	1,24	1,24	1,24	1,20	1,16	1,16	1,16	1,19	1,22	1,22	1,22	1,20	1,18	1,18	1,18	1,17	1,16	1,16	1,16	1,24	1,32	1,32	°55
1,28	1,24	1,20	1,20	1,20	1,16	1,13	1,13	1,13	1,17	1,21	1,21	1,21	1,19	1,17	1,17	1,17	1,16	1,15	1,15	1,15	1,22	1,28	1,28	°50
1,26	1,22	1,18	1,18	1,18	1,15	1,12	1,12	1,12	1,16	1,20	1,20	1,20	1,18	1,16	1,16	1,16	1,16	1,16	1,16	1,16	1,20	1,26	1,26	°45
1,22	1,20	1,17	1,17	1,17	1,14	1,12	1,12	1,12	1,15	1,18	1,18	1,18	1,17	1,16	1,16	1,16	1,16	1,16	1,16	1,16	1,19	1,22	1,22	°40
1,22	1,21	1,20	1,20	1,20	1,16	1,13	1,13	1,13	1,15	1,18	1,18	1,18	1,17	1,16	1,16	1,16	1,16	1,16	1,16	1,19	1,22	1,22	°35	
1,22	1,22	1,23	1,23	1,23	1,18	1,14	1,14	1,14	1,16	1,17	1,17	1,17	1,16	1,15	1,15	1,15	1,18	1,22	1,22	1,22	1,22	1,22	1,22	°30
1,27	1,28	1,30	1,30	1,30	1,23	1,16	1,16	1,16	1,16	1,16	1,16	1,15	1,14	1,14	1,14	1,14	1,20	1,26	1,26	1,26	1,27	1,27	1,27	°25
1,32	1,34	1,37	1,37	1,37	1,27	1,17	1,17	1,17	1,16	1,15	1,15	1,15	1,14	1,13	1,13	1,13	1,22	1,30	1,30	1,30	1,31	1,32	1,32	°20
1,25	1,27	1,30	1,30	1,30	1,24	1,18	1,18	1,18	1,16	1,14	1,14	1,14	1,13	1,12	1,12	1,12	1,23	1,34	1,34	1,34	1,30	1,25	1,25	°15
1,18	1,20	1,23	1,23	1,23	1,22	1,20	1,20	1,20	1,16	1,13	1,13	1,13	1,12	1,11	1,11	1,11	1,25	1,39	1,39	1,39	1,28	1,18	1,18	°10
1,18	1,20	1,23	1,23	1,23	1,22	1,20	1,20	1,20	1,16	1,13	1,13	1,13	1,12	1,11	1,11	1,11	1,25	1,39	1,39	1,39	1,28	1,18	1,18	°5
1,18	1,20	1,23	1,23	1,23	1,22	1,20	1,20	1,20	1,16	1,13	1,13	1,13	1,12	1,11	1,11	1,11	1,25	1,39	1,39	1,39	1,28	1,18	1,18	°0

الجدول 3 (تابع)

و) تغير foF2: القيمة العشرية العليا، فصل الاعتدال، $R_{12} > 100$

الوقت المحلي (بالساعات)																							خط العرض	
23	22	21	20	19	18	17	16	15	14	13	12	11	10	09	08	07	06	05	04	03	02	01	00	
1,40	1,40	1,40	1,40	1,40	1,40	1,40	1,40	1,40	1,40	1,40	1,40	1,40	1,40	1,40	1,40	1,40	1,40	1,40	1,40	1,40	1,40	1,40	°90	
1,43	1,43	1,43	1,43	1,43	1,41	1,39	1,39	1,39	1,40	1,40	1,40	1,40	1,39	1,38	1,38	1,38	1,38	1,38	1,38	1,38	1,41	1,43	1,43	°85
1,46	1,46	1,46	1,46	1,46	1,42	1,38	1,38	1,38	1,39	1,40	1,40	1,40	1,38	1,35	1,35	1,35	1,36	1,37	1,37	1,37	1,42	1,46	1,46	°80
1,44	1,43	1,42	1,42	1,42	1,39	1,36	1,36	1,36	1,36	1,36	1,36	1,36	1,34	1,32	1,32	1,32	1,33	1,34	1,34	1,34	1,39	1,44	1,44	°75
1,42	1,40	1,37	1,37	1,37	1,35	1,33	1,33	1,33	1,32	1,31	1,31	1,31	1,30	1,30	1,30	1,30	1,30	1,31	1,31	1,31	1,36	1,42	1,42	°70
1,36	1,33	1,30	1,30	1,30	1,30	1,29	1,29	1,29	1,28	1,28	1,28	1,28	1,28	1,28	1,28	1,28	1,28	1,28	1,28	1,28	1,32	1,36	1,36	°65
1,30	1,27	1,24	1,24	1,24	1,24	1,25	1,25	1,25	1,24	1,24	1,24	1,24	1,26	1,27	1,27	1,27	1,26	1,25	1,25	1,25	1,28	1,30	1,30	°60
1,24	1,22	1,20	1,20	1,20	1,20	1,20	1,20	1,20	1,21	1,22	1,22	1,22	1,24	1,26	1,26	1,26	1,24	1,22	1,22	1,22	1,24	1,24	1,24	°55
1,18	1,18	1,17	1,17	1,17	1,16	1,16	1,16	1,16	1,18	1,20	1,20	1,20	1,22	1,25	1,25	1,25	1,22	1,20	1,20	1,20	1,19	1,18	1,18	°50
1,16	1,16	1,16	1,16	1,16	1,15	1,14	1,14	1,14	1,16	1,18	1,18	1,18	1,19	1,21	1,21	1,21	1,19	1,18	1,18	1,18	1,17	1,16	1,16	°45
1,15	1,14	1,14	1,14	1,14	1,13	1,12	1,12	1,12	1,14	1,16	1,16	1,16	1,16	1,17	1,17	1,17	1,16	1,16	1,16	1,16	1,16	1,15	1,15	°40
1,20	1,17	1,14	1,14	1,14	1,13	1,12	1,12	1,12	1,12	1,13	1,13	1,13	1,13	1,14	1,14	1,14	1,15	1,17	1,17	1,17	1,18	1,20	1,20	°35
1,25	1,20	1,15	1,15	1,15	1,13	1,11	1,11	1,11	1,10	1,10	1,10	1,10	1,10	1,10	1,10	1,10	1,14	1,18	1,18	1,22	1,25	1,25	1,25	°30
1,28	1,23	1,18	1,18	1,18	1,15	1,12	1,12	1,12	1,11	1,10	1,10	1,10	1,10	1,10	1,10	1,10	1,10	1,18	1,25	1,25	1,26	1,28	1,28	°25
1,31	1,26	1,20	1,20	1,20	1,16	1,12	1,12	1,12	1,12	1,11	1,11	1,11	1,11	1,11	1,11	1,11	1,11	1,22	1,32	1,32	1,32	1,31	1,31	°20
1,26	1,24	1,22	1,22	1,22	1,17	1,13	1,13	1,13	1,14	1,16	1,16	1,16	1,13	1,10	1,10	1,10	1,19	1,28	1,28	1,28	1,27	1,26	1,26	°15
1,21	1,22	1,23	1,23	1,23	1,18	1,14	1,14	1,14	1,17	1,20	1,20	1,20	1,14	1,09	1,09	1,09	1,16	1,23	1,23	1,23	1,22	1,21	1,21	°10
1,21	1,22	1,23	1,23	1,23	1,18	1,14	1,14	1,14	1,17	1,20	1,20	1,20	1,14	1,09	1,09	1,09	1,16	1,23	1,23	1,23	1,22	1,21	1,21	°5
1,21	1,22	1,23	1,23	1,23	1,18	1,14	1,14	1,14	1,17	1,20	1,20	1,20	1,14	1,09	1,09	1,09	1,16	1,23	1,23	1,23	1,22	1,21	1,21	°0

الجدول 3 (تابع)

ز) تغير R_{12} : القيمة العشرية العليا، صيفاً، $50 < foF2$

الوقت المحلي (بالساعات)																							خط العرض	
23	22	21	20	19	18	17	16	15	14	13	12	11	10	09	08	07	06	05	04	03	02	01	00	
1,21	1,21	1,21	1,21	1,21	1,21	1,21	1,21	1,21	1,21	1,21	1,21	1,21	1,21	1,21	1,21	1,21	1,21	1,21	1,21	1,21	1,21	1,21	°90	
1,24	1,22	1,22	1,22	1,22	1,22	1,21	1,21	1,21	1,20	1,19	1,19	1,19	1,18	1,18	1,18	1,18	1,20	1,22	1,22	1,22	1,23	1,24	1,24	°85
1,26	1,24	1,22	1,22	1,22	1,22	1,21	1,21	1,21	1,19	1,17	1,17	1,17	1,16	1,15	1,15	1,15	1,20	1,24	1,24	1,24	1,25	1,26	1,26	°80
1,24	1,22	1,20	1,20	1,20	1,19	1,18	1,18	1,18	1,17	1,16	1,16	1,16	1,15	1,14	1,14	1,14	1,18	1,21	1,21	1,21	1,22	1,24	1,24	°75
1,22	1,20	1,18	1,18	1,18	1,17	1,16	1,16	1,16	1,16	1,15	1,15	1,15	1,14	1,14	1,14	1,14	1,16	1,18	1,18	1,18	1,20	1,22	1,22	°70
1,20	1,18	1,16	1,16	1,16	1,16	1,15	1,15	1,15	1,15	1,15	1,15	1,15	1,14	1,14	1,14	1,14	1,16	1,18	1,18	1,18	1,19	1,20	1,20	°65
1,18	1,16	1,15	1,15	1,15	1,14	1,14	1,14	1,14	1,14	1,15	1,15	1,15	1,14	1,14	1,14	1,14	1,16	1,17	1,17	1,17	1,18	1,18	1,18	°60
1,18	1,16	1,15	1,15	1,15	1,14	1,14	1,14	1,14	1,15	1,16	1,16	1,16	1,15	1,14	1,14	1,14	1,16	1,18	1,18	1,18	1,18	1,18	1,18	°55
1,17	1,16	1,15	1,15	1,15	1,14	1,14	1,14	1,14	1,15	1,16	1,16	1,16	1,16	1,15	1,15	1,15	1,18	1,20	1,20	1,20	1,18	1,17	1,17	°50
1,17	1,16	1,16	1,16	1,16	1,15	1,14	1,14	1,14	1,15	1,16	1,16	1,16	1,16	1,16	1,16	1,16	1,19	1,22	1,22	1,22	1,20	1,17	1,17	°45
1,17	1,16	1,16	1,16	1,16	1,15	1,15	1,15	1,15	1,16	1,17	1,17	1,17	1,17	1,17	1,17	1,17	1,21	1,25	1,25	1,25	1,21	1,17	1,17	°40
1,18	1,18	1,18	1,18	1,18	1,18	1,17	1,17	1,17	1,18	1,18	1,18	1,18	1,18	1,17	1,17	1,17	1,22	1,28	1,28	1,28	1,23	1,18	1,18	°35
1,18	1,19	1,20	1,20	1,20	1,20	1,19	1,19	1,19	1,20	1,20	1,20	1,20	1,18	1,17	1,17	1,17	1,24	1,30	1,30	1,30	1,24	1,18	1,18	°30
1,19	1,20	1,22	1,22	1,22	1,21	1,20	1,20	1,20	1,21	1,22	1,22	1,22	1,19	1,16	1,16	1,16	1,24	1,32	1,32	1,32	1,26	1,19	1,19	°25
1,20	1,22	1,23	1,23	1,23	1,22	1,22	1,22	1,22	1,23	1,24	1,24	1,24	1,19	1,14	1,14	1,14	1,24	1,34	1,34	1,34	1,27	1,20	1,20	°20
1,20	1,21	1,22	1,22	1,22	1,23	1,24	1,24	1,24	1,26	1,27	1,27	1,27	1,20	1,13	1,13	1,13	1,24	1,36	1,36	1,36	1,28	1,20	1,20	°15
1,20	1,20	1,20	1,20	1,20	1,24	1,27	1,27	1,27	1,28	1,30	1,30	1,30	1,21	1,12	1,12	1,12	1,24	1,37	1,37	1,37	1,28	1,20	1,20	°10
1,20	1,20	1,20	1,20	1,20	1,24	1,27	1,27	1,27	1,28	1,30	1,30	1,30	1,21	1,12	1,12	1,12	1,24	1,37	1,37	1,37	1,28	1,20	1,20	°5
1,24	1,22	1,20	1,20	1,20	1,20	1,20	1,20	1,20	1,21	1,22	1,22	1,22	1,18	1,15	1,15	1,15	1,26	1,38	1,38	1,38	1,30	1,24	1,24	°0

الجدول 3 (تابع)

ح) تغير foF2: القيمة العشرية العليا، صيفاً، $50 \leq R_{12} \leq 100$

الوقت المحلي (بالساعات)																							خط العرض		
23	22	21	20	19	18	17	16	15	14	13	12	11	10	09	08	07	06	05	04	03	02	01	00		
1,22	1,22	1,22	1,22	1,22	1,22	1,22	1,22	1,22	1,22	1,22	1,22	1,22	1,22	1,22	1,22	1,22	1,22	1,22	1,22	1,22	1,22	1,22	°90		
1,24	1,24	1,22	1,22	1,22	1,23	1,23	1,23	1,23	1,22	1,20	1,20	1,20	1,21	1,21	1,21	1,22	1,22	1,22	1,22	1,22	1,24	1,24	°85		
1,27	1,25	1,23	1,23	1,23	1,24	1,24	1,24	1,24	1,21	1,18	1,18	1,18	1,19	1,20	1,20	1,20	1,22	1,23	1,23	1,23	1,25	1,27	1,27	°80	
1,25	1,23	1,21	1,21	1,21	1,21	1,20	1,20	1,20	1,19	1,18	1,18	1,18	1,19	1,20	1,20	1,20	1,20	1,21	1,21	1,21	1,23	1,25	1,25	°75	
1,23	1,21	1,19	1,19	1,19	1,18	1,17	1,17	1,17	1,17	1,17	1,17	1,17	1,18	1,19	1,19	1,19	1,19	1,19	1,19	1,19	1,21	1,23	1,23	°70	
1,22	1,20	1,18	1,18	1,18	1,17	1,16	1,16	1,16	1,16	1,17	1,17	1,17	1,18	1,19	1,19	1,19	1,19	1,18	1,18	1,18	1,20	1,22	1,22	°65	
1,20	1,18	1,17	1,17	1,17	1,16	1,14	1,14	1,14	1,16	1,17	1,17	1,17	1,18	1,19	1,19	1,19	1,18	1,18	1,18	1,18	1,19	1,20	1,20	°60	
1,18	1,17	1,16	1,16	1,16	1,16	1,14	1,14	1,14	1,16	1,17	1,17	1,17	1,18	1,20	1,20	1,20	1,19	1,18	1,18	1,18	1,18	1,18	1,18	°55	
1,17	1,16	1,16	1,16	1,16	1,16	1,15	1,15	1,15	1,16	1,17	1,17	1,17	1,19	1,21	1,21	1,21	1,20	1,19	1,19	1,19	1,18	1,17	1,17	°50	
1,17	1,17	1,16	1,16	1,16	1,16	1,16	1,16	1,16	1,17	1,18	1,18	1,18	1,20	1,22	1,22	1,22	1,21	1,20	1,20	1,20	1,19	1,17	1,17	°45	
1,17	1,17	1,17	1,17	1,17	1,17	1,17	1,17	1,17	1,18	1,18	1,18	1,18	1,20	1,23	1,23	1,23	1,22	1,22	1,22	1,22	1,20	1,17	1,17	°40	
1,18	1,18	1,18	1,18	1,18	1,18	1,18	1,18	1,18	1,18	1,18	1,18	1,18	1,20	1,22	1,22	1,22	1,24	1,26	1,26	1,26	1,22	1,18	1,18	°35	
1,20	1,19	1,18	1,18	1,18	1,18	1,19	1,19	1,19	1,19	1,19	1,19	1,19	1,20	1,22	1,22	1,22	1,26	1,30	1,30	1,25	1,20	1,20	1,20	°30	
1,23	1,23	1,23	1,23	1,23	1,22	1,21	1,21	1,21	1,21	1,21	1,21	1,21	1,20	1,20	1,20	1,20	1,27	1,34	1,34	1,34	1,28	1,23	1,23	°25	
1,26	1,27	1,28	1,28	1,28	1,26	1,23	1,23	1,23	1,23	1,23	1,23	1,23	1,20	1,17	1,17	1,17	1,28	1,38	1,38	1,38	1,32	1,26	1,26	°20	
1,26	1,26	1,25	1,25	1,25	1,25	1,26	1,26	1,26	1,26	1,26	1,26	1,26	1,20	1,14	1,14	1,14	1,28	1,41	1,41	1,41	1,41	1,34	1,26	1,26	°15
1,26	1,24	1,22	1,22	1,22	1,25	1,28	1,28	1,28	1,28	1,28	1,28	1,28	1,20	1,11	1,11	1,11	1,28	1,44	1,44	1,44	1,35	1,26	1,26	°10	
1,26	1,24	1,22	1,22	1,22	1,25	1,28	1,28	1,28	1,28	1,28	1,28	1,28	1,20	1,11	1,11	1,11	1,28	1,44	1,44	1,44	1,35	1,26	1,26	°5	
1,24	1,23	1,22	1,22	1,22	1,22	1,22	1,22	1,22	1,21	1,20	1,20	1,20	1,17	1,12	1,12	1,12	1,24	1,35	1,35	1,34	1,24	1,24	1,24	°0	

الجدول 3 (تممة)

ط) تغير $foF2$: القيمة العشرية العليا، صيفاً، $R_{12} > 100$

الوقت المحلي (بالساعات)																							خط العرض	
23	22	21	20	19	18	17	16	15	14	13	12	11	10	09	08	07	06	05	04	03	02	01	00	
1,23	1,23	1,23	1,23	1,23	1,23	1,23	1,23	1,23	1,23	1,23	1,23	1,23	1,23	1,23	1,23	1,23	1,23	1,23	1,23	1,23	1,23	1,23	°90	
1,26	1,25	1,24	1,24	1,24	1,24	1,24	1,23	1,23	1,21	1,19	1,19	1,19	1,20	1,20	1,20	1,20	1,22	1,25	1,25	1,25	1,26	1,26	°85	
1,30	1,27	1,24	1,24	1,24	1,24	1,24	1,23	1,23	1,19	1,15	1,15	1,15	1,16	1,17	1,17	1,17	1,22	1,27	1,27	1,27	1,28	1,30	1,30	°80
1,26	1,25	1,24	1,24	1,24	1,23	1,22	1,22	1,22	1,19	1,16	1,16	1,16	1,17	1,18	1,18	1,18	1,21	1,24	1,24	1,24	1,25	1,26	1,26	°75
1,22	1,22	1,23	1,23	1,23	1,22	1,21	1,21	1,21	1,20	1,18	1,18	1,18	1,19	1,20	1,20	1,20	1,21	1,22	1,22	1,22	1,22	1,22	1,22	°70
1,19	1,20	1,22	1,22	1,22	1,21	1,20	1,20	1,20	1,20	1,20	1,20	1,20	1,22	1,23	1,23	1,23	1,22	1,20	1,20	1,20	1,20	1,19	1,19	°65
1,16	1,18	1,21	1,21	1,21	1,20	1,19	1,19	1,19	1,20	1,21	1,21	1,21	1,24	1,26	1,26	1,26	1,22	1,18	1,18	1,18	1,17	1,16	1,16	°60
1,15	1,17	1,20	1,20	1,20	1,19	1,19	1,19	1,19	1,21	1,24	1,24	1,24	1,26	1,28	1,28	1,28	1,22	1,16	1,16	1,16	1,15	1,15	1,15	°55
1,14	1,16	1,18	1,18	1,18	1,18	1,19	1,19	1,19	1,22	1,26	1,26	1,26	1,28	1,30	1,30	1,30	1,22	1,15	1,15	1,15	1,14	1,14	1,14	°50
1,14	1,16	1,17	1,17	1,17	1,18	1,19	1,19	1,19	1,23	1,26	1,26	1,26	1,28	1,30	1,30	1,30	1,22	1,14	1,14	1,14	1,14	1,14	1,14	°45
1,14	1,15	1,16	1,16	1,16	1,18	1,19	1,19	1,19	1,23	1,27	1,27	1,27	1,28	1,30	1,30	1,30	1,22	1,14	1,14	1,14	1,14	1,14	1,14	°40
1,15	1,15	1,16	1,16	1,16	1,17	1,18	1,18	1,18	1,21	1,28	1,28	1,28	1,26	1,28	1,28	1,28	1,21	1,14	1,14	1,14	1,15	1,15	1,15	°35
1,16	1,16	1,15	1,15	1,15	1,16	1,17	1,17	1,17	1,18	1,20	1,20	1,20	1,22	1,25	1,25	1,25	1,20	1,15	1,15	1,15	1,16	1,16	1,16	°30
1,18	1,18	1,17	1,17	1,17	1,17	1,18	1,18	1,18	1,18	1,18	1,18	1,18	1,20	1,22	1,22	1,22	1,20	1,18	1,18	1,18	1,18	1,18	1,18	°25
1,21	1,20	1,19	1,19	1,19	1,18	1,18	1,18	1,18	1,16	1,15	1,15	1,15	1,16	1,18	1,18	1,18	1,20	1,22	1,22	1,22	1,22	1,21	1,21	°20
1,23	1,22	1,21	1,21	1,21	1,20	1,20	1,20	1,20	1,18	1,16	1,16	1,16	1,16	1,16	1,16	1,16	1,19	1,22	1,22	1,22	1,22	1,23	1,23	°15
1,25	1,24	1,23	1,23	1,23	1,22	1,22	1,22	1,22	1,20	1,17	1,17	1,17	1,15	1,13	1,13	1,13	1,17	1,21	1,21	1,21	1,23	1,25	1,25	°10
1,25	1,24	1,23	1,23	1,23	1,22	1,22	1,22	1,22	1,20	1,17	1,17	1,17	1,15	1,13	1,13	1,13	1,17	1,21	1,21	1,21	1,23	1,25	1,25	°5
1,22	1,22	1,22	1,22	1,22	1,20	1,18	1,18	1,18	1,17	1,15	1,15	1,15	1,14	1,14	1,14	1,14	1,18	1,23	1,23	1,23	1,22	1,22	1,20	°0